МИНИСТЕРСТВО ОБРАЗОВАНИЯ И НАУКИ РОССИЙСКОЙ ФЕДЕРАЦИИ федеральное государственное бюджетное образовательное учреждение высшего образования «Тольяттинский государственный университет»

ИНСТИТУТ МАШИНОСТРОЕНИЯ

Кафедра «Сварка, обработка материалов давлением и родственные процессы»

	15.03.01 Машиностроение	
	ц и наименование направления подготовки, специалы	
Машины	и технология обработки металлов	давлением
	(профиль)	
	БАКАЛАВРСКАЯ РАБОТА	A
-	технологического процесса и шт	
изготовления детали	«Кронштейн педали сцепления» л	егкового автомооиля
Студент(ка)	Я.И. Полешкин	
•	(И.О. Фамилия)	(личная подпись)
Руководитель	Е.Л.Смолин	
	(И.О. Фамилия)	(личная подпись)
Консультанты	И.В.Краснопевцева	
•	(И.О. Фамилия)	(личная подпись)
	И.В. Дерябин	
•	(И.О. Фамилия)	(личная подпись)
	В.Г. Виткалов	
	(И.О. Фамилия)	(личная подпись)
	По	
	Допустить к защите	

Заведующий кафедрой <u>д.т.н., доцент В.В. Ельцов</u> (ученая степень, звание, И.О. Фамилия) (личная подпись)

МИНИСТЕРСТВО ОБРАЗОВАНИЯ И НАУКИ РОССИЙСКОЙ ФЕДЕРАЦИИ

федеральное государственное бюджетное образовательное учреждение высшего образования «Тольяттинский государственный университет»

ИНСТИТУТ МАШИНОСТРОЕНИЯ

Кафедра «Сварка, обработка материалов давлением и родственные процессы»

продолжи
УТВЕРЖДАЮ
Завкафедрой «СОМДиРП»
В.В. Ельцов
(подпись) (И.О. Фамилия)
« <u>»</u> 20г.
ой работы
_
повой оснастки для изготовления
обиля
рикационной работы <u>июнь 2017</u>
аботе Существующая технология
ли процесса
перечень подлежащих разработке
гка технологического процесса
_
<u>гв автоматизации, 4.Разработка</u>
погичность технического объекта,
инидотратирного матариана
иллюстративного материала
равнительный анализ, штамповая
огичность технического объекта
r.
сь) (И.О. Фамилия)

ЗАДАНИЕ на выполнение бакалаврской работы

Студент Полешкин Яков Игоревич

- 1. Тема Разработка технологического процесса и штамповой оснастки для изготовления детали «Кронштейн педали сцепления» легкового автомобиля.

 2. Срок сдачи студентом законченной выпускной квалификационной работы ______ июнь 2017

 3. Исходные данные к выпускной квалификационной работе Существующая технология изготовления детали и технико-экономические показатели процесса
- 4. Содержание выпускной квалификационной работы (перечень подлежащих разработков вопросов, разделов) 1. Состояние вопроса, 2. Разработка технологического процессы изготовления детали, 3. Выбор оборудования и средств автоматизации, 4. Разработка конструкции штамповой оснастки, 5. Безопасность и экологичность технического объекта 6. Экономическая часть
- 5. Ориентировочный перечень графического и иллюстративного материала Презентационные материалы, комплекс оборудования, сравнительный анализ, штамповая оснастка.
- 6. Консультанты по разделам 1. <u>Безопасность и экологичность технического объекта</u> (И.В. Дерябин)
- 2. Экономическая часть (И.В. Краснопевцева)

МИНИСТЕРСТВО ОБРАЗОВАНИЯ И НАУКИ РОССИЙСКОЙ ФЕДЕРАЦИИ

федеральное государственное бюджетное образовательное учреждение высшего образования

«Тольяттинский государственный университет»

ИНСТИТУТ МАШИНОСТРОЕНИЯ

Кафедра «Сварка, обработка материалов давлением и родственные процессы»

	УТВЕ	РЖДАЮ
Зав	кафедроі	й «СОМДиРП»
		B.B. Ельцов
«	>>>	20г.

КАЛЕНДАРНЫЙ ПЛАН выполнения бакалаврской работы

Студента Полешкин Яков Игоревич

по теме <u>Разработка технологического процесса и штамповой оснастки для изготовления</u> детали «Кронштейн педали сцепления» легкового автомобиля

Наименование раздела работы	Плановый срок выполнения	Фактический срок выполнения	Отметка о выполнении	Подпись руководителя
	раздела	раздела		
1. Анализ технико- экономических показателей исходных данных	22.04.17	04.05.17	выполнено	
2. Технологическая часть	03.05.17	11.05.17	выполнено	
3. Выбор оборудования и средств механизации или автоматизации	10.05.17	16.05.17	выполнено	
4. Конструкторская часть	13.05.17	20.05.17	выполнено	
5. Безопасность жизнедеятельности	18.05.17	25.05.17	выполнено	
6. Экономическая часть	25.05.17	30.05.17	выполнено	
7. Подготовка чертежей по технологии	12.05.17	15.05.17	выполнено	
8. Подготовка чертежей оборудования	18.05.17	20.05.17	выполнено	
9. Подготовка чертежей оснастки	25.05.17	26.05.17	выполнено	
10. Подготовка к защите	30.05.17	- 15.06.17		

Аннотация

В выпускной бакалаврской работе разработан технологический процесс и конструкция штамповой оснастки для изготовления детали «Кронштейн педали сцепления» легкового автомобиля.

Техническая проверке часть проекта заключается В на технологичность, определении формы и размера начальной заготовки, коэффициент используемого металла, a так же рассчитываются энергосиловые параметры по операциям. Затем в проекте производится подбор необходимого технологического специального оборудования и По проводятся промышленные свойства. штамповой оснастке сконструированы штампы ДЛЯ нового процесса определяются исполнительные размеры рабочих частей самого штампа, выбираются способы термической обработки деталей. И В материалы представлены меры по созданию безопасных условий труда для рабочего персонала. Затем следует экономическая часть, в которой рассчитана себестоимость изготовляемой детали, определен размер капиталовложения для запуска данного производства по сравнению с имеющимся.

Содержание

Аннотация4
Введение5
1Анализ существующих способов изготовления детали
1.1Исследование технологичности детали
1.2Исследование существующей технологии изготовления детали13
1.33адачи бакалаврской работы15
2Создание технологического процесса производства детали15
2.1Схема представленного технологического процесса
2.2Устанавливание формы и размеров исходной заготовки17
2.3Составление плана рационного раскроя металла и определение
коэффициента применения использования материала (КИМ)23
2.4Вычисление операционных размеров штамповки
2.5Определение энергосиловых параметров штамповки
2.5.1Вычисление энергосиловых параметров вырубки
2.5.2Вычисление энергосиловых параметров 1-ой вытяжки и пробивки
отверстий
2.5.3Вычисление энергосиловых параметров 2-ой вытяжки
2.5.4Вычисление энергосиловых параметров правки
2.5.5Вычисление энергосиловых параметров пробивки
2.5.6Вычисление энергосиловых параметров отбортовки
2.5.7Вычисление энергосиловых параметров разбортовки
2.5.8Вычисление энергосиловых параметров осадки
2.5.9Вычисление энергосиловых параметров пробивки отверстий39
2.5.10Вычисление энергосиловых параметров обрезки
2.5.11Вычисление энергосиловых параметров клиновой пробивки41
3Подбор оборудования и средств автоматизации
3.1Подбор типоразмера. Основные промышленные характеристики43
3.2Подбор средств автоматизации. Основные промышленные
характеристики47

3.3Представление работы механической линии	49
4Создание конструкции штамповой оснастки	51
4.1Структура, конструкция и работа штамповой оснастки	51
4.2Использованные материалы, подобранные для изготовления	деталей
вытяжного штампа	53
4.3Определение количества и местоположения упругих компонентов	з штампа
для 1-й вытяжки	54
4.4Установление центра давления штампа	55
5Безопасность и экологичность техничекого объекта	56
5.1Технологическая оценка объекта	56
5.2Распознование производственно-технологических и	рабочих
профессиональных рисков	57
5.3Способы и технические средства уменьшения профессио	нальных
рисков	53
5.4Предоставление пожарной безопасности технологического объект	a60
5.5Промышленные средства предоставления пожарной безопасности	61
5.6Объединительные (объединительные-технические) событи	ия по
обеспечению пожарной безопасности	62
5.7Распознование экологических условий технологического объекта.	63
5.8Созданные объединенные-технические события по умен	ньшению
отрицательного антропогенного влияния технического объе	екта на
окружающую среду	64
5.9Вывод раздела безопасность и экологичность технического объект	
6Экономическая часть	66
6.1Оценка вариантов	66
6.2Вычисление себестоимости штамповой оснастки	66
6.3Вычисление себестоимости производства и изгот	говления
пролукции	67

6.4Вычисление необходимого количества оснащения, коэффициента	его
загрузки, числа рабочих- операторов и необходимое количество штампо	вой
оснастки	.70
6.5Вычисление капитальных вложений	72
6.6Вычисление себестоимости сравниваемых вариантов	74
6.7Структура себестоимости продукта сопоставимых вариантов7	7
6.8Вычисление показателей экономической эффективности проектируем	ого
варианта	.77
6.9Вывод экономической части	78
Заключение	.79
Литература	.80
Приложения	32

Введение

Листовая штамповка используется в абсолютно всех отраслях производств сопровожденных с производством металлических элементов (заготовок). Наиболее применимая в автомобильной и авиационной промышленности.

Обработки металлов давлением позволяет:

- 1. получать детали сложных форм;
- 2. создавать прочные и жесткие детали (заготовки).
- В финансовом взаимоотношении обработка материалов давлением характеризуется следующими достоинствами:
- 1. экономное использование материалов для изготовления деталей;
- 2. высокой производительностью оборудования;
- 3. массовым выпуском изделий и низкой себестоимостью.

Разработка технологического процесса обработки материалов давлением и проектирование штампов связаны друг с другом.

Штамповка деталей методом выполнения нескольких операций чаще всего остается не выгодной, и поэтому применяют комбинированную штамповку одновременно сочетающие несколько операций одновременно.

В зависимости от способа совмещения операций комбинированную штамповку разделяют на совмещенную, последовательную и совмещено-последовательную. Последовательной штамповкой объединяют несколько различных операций, выполняемых последовательно отдельно за несколько ходов пресса.

Следовательно, технологический процесс холодной штамповки является важным этапом в подготовке производства.

В данной работе выполнена разработка технологического процесса изготовления детали «Кронштейн педали сцепления» легкового автомобиля, приложены экономические вычисления, исследование безопасности и экологичности данных изменений на производстве.

Цель бакалаврской работы - снизить себестоимости производства детали с помощью снижения трудоемкости за счет автоматизации технологического процесса, а также уменьшение затрат на основные материалы за счет снижения нормы расхода.

1 Исследование существующих способов изготовления детали

1.1 Исследование технологичности детали

«К важным показателям технологичности деталей относятся следующие:

- наибольший коэффициент использования материала;
- -уменьшение трудоемкости операции;
- не требуется обработка;
- маленькое количество требуемого оборудования для выполнения работы и меньше площади;
 - -сокращение сроков и затрат на изготовление детали.

Действительным показателем технологичности является себестоимость деталей.[2]»

Основные технологические требования к конструкциям листовых штамповочных деталей:

- механические свойства должны соответствовать требованиям прочности, жесткости;
- повышение жесткости;
- конструкция детали должна обеспечить высокий уровень использования металла;
- -снижение перечня используемых марок применяемых сталей;
- использование штампосварных систем вместо кованных и т.д.;
- маленькое количества отдельных деталей в узле.

При необходимости повышения точности вводятся в процесс дополнительные операции, к примеру правка, зачистка.

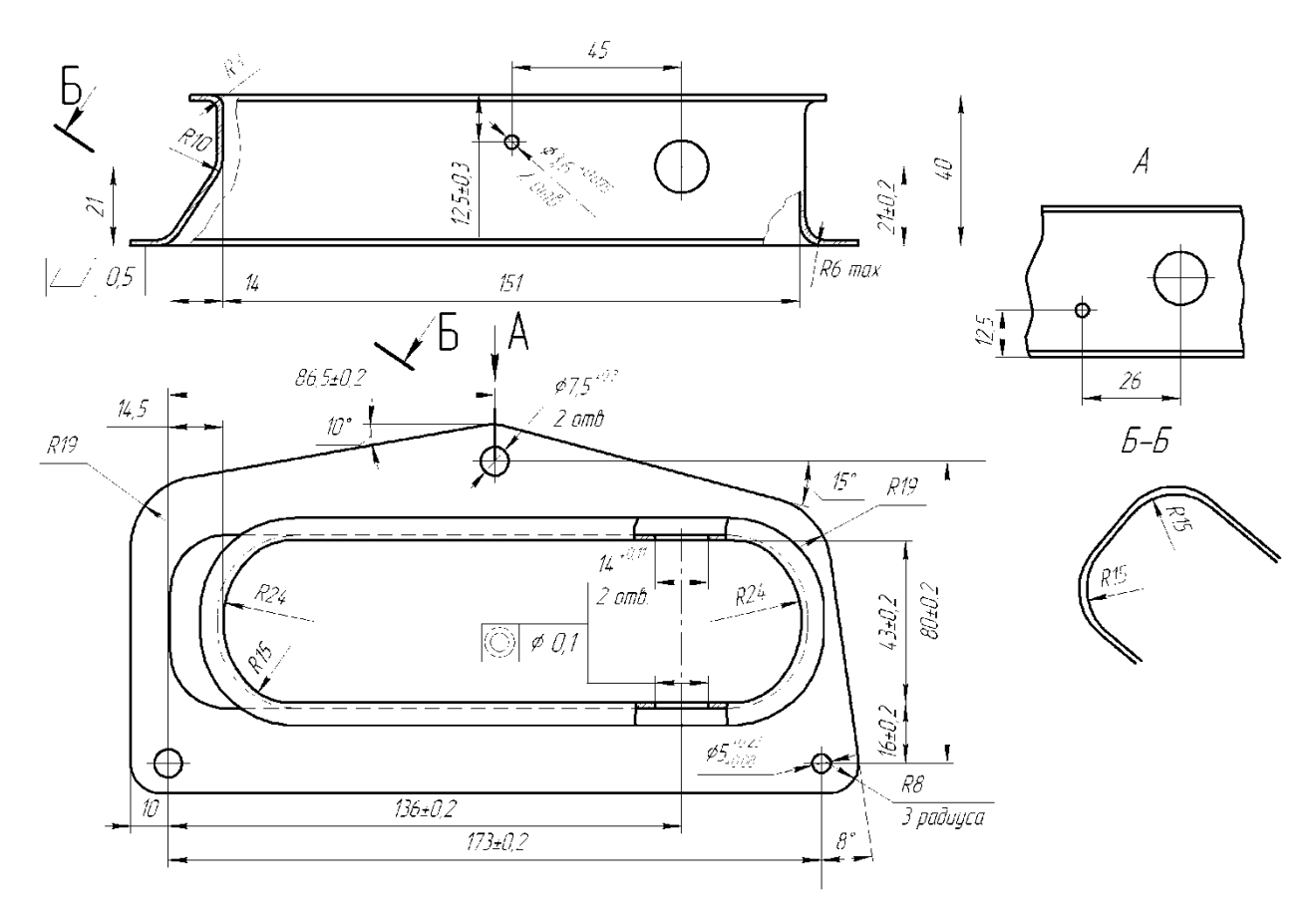


Рисунок 1.1- Кронштейн педали сцепления

При выполнении операции вытяжка минимально допустимый радиус закругления между фланцем и стенкой должен составлять $r_{\rm M} = r_{\rm II} \ge 35$. Радиус между фланцем и стенкой определяется по формуле [1]:

$$r_{\mathsf{M}} = r_{\mathsf{\Pi}} \geq 3S$$

$$r_{\rm M} = r_{\rm \Pi} \ge 3S = 1.5 \cdot 3 = 4.5$$
 _{MM}

В нашем случае радиус составляет 4,5 мм, что удовлетворяет требованиям технологичности.

При выполнении операции обрезка с одновременной пробивкой трех отверстий (рисунок 1.3) минимально допустимое расстояние от края детали до края отверстия составляет 3 мм. В нашем случае этот размер удовлетворяет требованию технологичности.

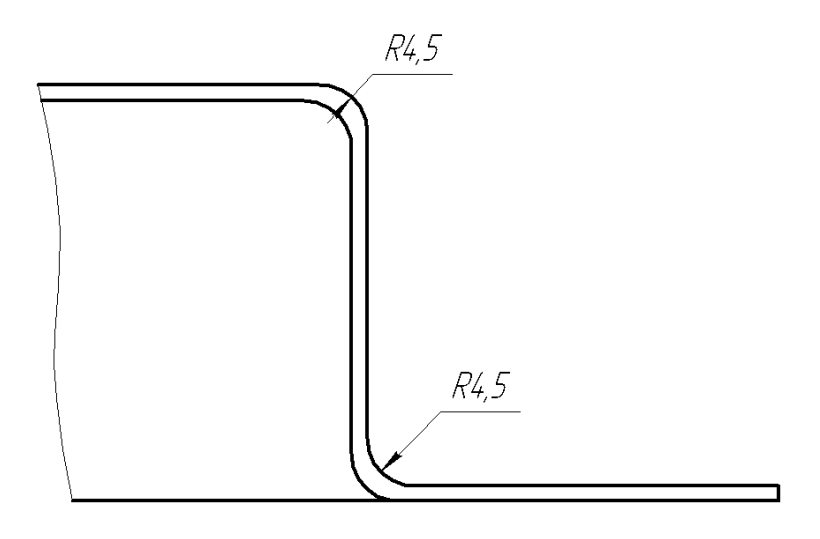


Рисунок 1.2 - К анализу технологичности детали

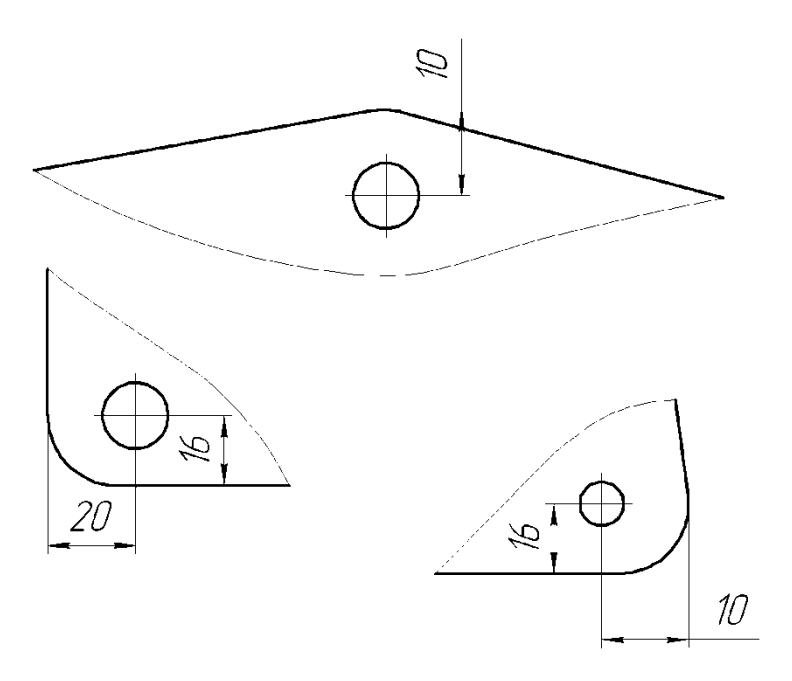


Рисунок 1.3 - Технологичность при пробивке

При одновременной пробивке четырех отверстий (рисунок 1.4) минимально допустимое расстояние от края детали до края отверстия составляет 3 мм. В нашем случае расстояние удовлетворяет требованию технологичности.

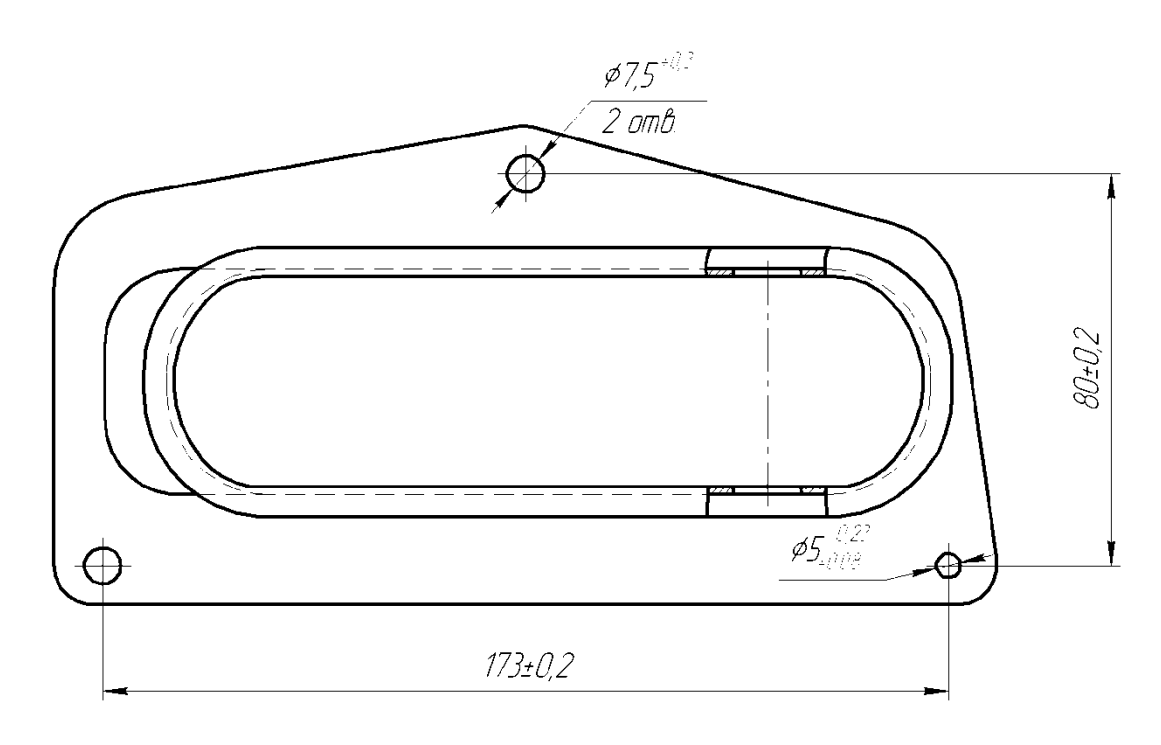


Рисунок 1.4 - Технологичность при совмещении операций

1.2 Исследование существующей технологии изготовления детали

«Был имеющийся технологический рассмотрен уже изготовления детали «Кронштейн педали сцепления». Он состоит из 10 операций. Изготовление ведется на штамповочной линии прессов КЕ2330 усилием 1,0 МН с вырубкой заготовок на прессе Раскин усилием 1,75 МН., оснащенного устройствами автоматической подачи металла в рабочую зону.[2]» разбираемом методе технологии изготовления детали «Кронштейн педали сцепления» использована схема возведения технологического процесса, содержащая в себе 10 действий (операций). Любое действие производится в отдельном прессе.

Заготовки закладываются в штамп вручную, т.е. используется традиционная схема штамповки без применения средств автоматизации кроме первой операции-вырубки заготовок на прессе Раскин 175, который оснащен разматывающим и правильно-подающим устройствами.

вытяжка 1-я: осуществляется на прессе простого действия КЕ2330 усилием 1,0 МН.

вытяжка 2-я: осуществляется на прессе простого действия КЕ2330 усилием 1,0 МН.

вытяжка 3-я: осуществляется на прессе простого действия КЕ2330 усилием 1,0 МН.

пробивка: осуществляется на прессе простого действия KE2330 усилием 1,0 MH.

отбортовка: осуществляется на прессе просто действия KE2330 усилием 1,0 MH.

разбортовка: выполняется прессом простого действия КЕ2330 с усилием 1,0 МН.

осадка: осуществляется на прессе простого действия KE2330 усилием 1,0 MH.

пробивка и обрезка: осуществляется на прессе простого действия KE2330 усилием 1,0 MH.

пробивка клиновая: осуществляется на пресен простого действия KE2330 усилием 1,0 MH.

Анализ рассмотренной технологии выявил ее недостатки:

- 1. велика трудоемкость изготовления детали, т.к. традиционная штамповка предполагает передачу заготовки от пресса к прессу и ручную укладку заготовки в штамп, что приводит к снижению точности штамповки;
- 2. занято большое число рабочего персонала (штамповщиков); большие производственные площади, ввиду использования нескольких отдельных прессов;
- 3. транспортно-складские расходы из-за разной производительности прессов;
- 4. недостаточно высоки условия труда, т.к. монотонный труд приводит к эмоциональной усталости штамповщиков;
 - 5. небезопасные условия работы.

1.3 Задачи бакалаврской работы

Учитывая выше указанные недостатки известной технологии, делаем вывод о необходимости автоматизации этого процесса. Для этого следует перевести изготовление детали на многопозиционный пресс-автомат. Для этого необходимо разработать новый технологический процесс.

Необходимо решить следующие задачи:

- 1. разработать новую схему технологического процесса;
- 2. выбрать новое технологическое оборудование с учетом требований к новому технологическому процессу (количество позиций на прессавтомате должно соответствовать числу технологических операций и должна обеспечиваться автоматическая передача заготовки с позиции на позицию;
- 3. разработать конструкцию штамповой оснастки;
- 4. производится расчет экономической результативности обновленного технологического процесса перед задействованным;
- 5. разработать мероприятия по безопасности условий труда на производственном участке.

Решив перечисленные задачи, планируем достичь поставленную цель.

2 Создание технологического процесса производства детали

2.1 Схема представленного технологического процесса

«Предлагаемая схема технологического процесса позволяет устранить ряд недостатков базового технологического процесса. Планируем устранить ручную штамповку, за счет чего сократится количество рабочих на изготовление данной детали, понизится травмоопасность, повысится производительность.[13]» Для этого заменим используемое оборудование на более прогрессивное оборудование, снабженное системами автоматизации. Планируем изготовление детали из рулонного материала последовательной штамповкой из ленты с автоматическим контролем шага. Марка стали определена чертежом детали, параметры ленты будут определены позже.

Предложенный технологический процесс состоит из восьми операций, выполненных на многопозиционном прессе Барнаул (AA6136) усилием 4,0 МН (400 т. с.) и трех операций - на прессе К2039 усилием 8,0 МН (800 т. с.):

- **10**¹. Вырубка заготовок: заготовки вырубаются из ленты толщиной 1,5 мм сталь 0,8ю ОСВ-2-Б на многопозиционном прессе Барнаул усилием 4.0 МН (400 т. с.). Выбор оборудования и системы автоматизации см. далее.
- **10²**. Вытяжка 1-я: осуществляется на многопозиционном прессе Барнаул (AA6136) усилием 4,0 МН.
- **10³**. Вытяжка 2-я: осуществляется на многопозиционном прессе Барнаул (AA6136) усилием 4,0 МН.
- **10**⁴. Правка: осуществляется на многопозиционном прессе Барнаул (AA6136) усилием 4,0 MH.
- **10**⁵. Пробивка: осуществляется на многопозиционном прессе Барнаул (AA6136) усилием 4,0 MH.
- **10**⁶. Отбортовка: осуществляется на многопозиционном прессе Барнаул (AA6136) усилием 4,0 MH.
- **10**⁷. Пробивка: осуществляется на многопозиционном прессе Барнаул (AA6136) усилием 4,0 МН.
- **10⁸**. Обрезка: осуществляется на многопозиционном прессе Барнаул (AA6136) усилием 4,0 MH.
- **20**¹. Разбортовка: осуществляется на прессе К3132 усилием 1,6 МН. Выбор оборудования и системы автоматизации см. далее
- 20². Осадка: осуществляется на прессе К3132 усилием 1.6 МН.
- **203**. Пробивка клиновая: осуществляется на прессе К3132 усилием 1.6 MH.

«В проектном варианте технологии изготовления детали предложено применить автоматическую линию с грейферной подачей к многопозийионному прессу, за счет чего сократится количество рабочих на изготовление данной детали, понизится травмоопасность, уменьшится

количество занимаемой оборудованием площади, повысится точность штамповки, снизится штучное время.[7]»

2.2 Устанавливание формы и размеров исходной заготовки

«В массовом производстве играет большую роль точное определение формы и размеров исходной заготовки.

Вытяжка прямоугольных коробчатых деталей является сложным процессом холодной штамповки, так как в данном случае деформация вдоль периметра прямоугольной детали переменна.

Боковые стенки не просто отгибаются, а претерпевают более сложную деформацию, состоящую из сжатия (укорочения) вдоль периметра, удлинения в вертикальном направлении и некоторого увеличения толщины стенок в верхней части детали. Таким образом, распространенное представление о том, что вытяжка происходит лишь в углах прямоугольной детали, а прямые стенки просто отгибаются, является упрощенным и недостаточно точным».[2]

«Известные методы расчета заготовок для вытяжки прямоугольных коробок охватывают лишь отдельные частные случаи без четкого указания пределов их применения.

Зачастую оказывается, что методы расчета, применяемые в одном случае, не пригодны при вытяжке аналогичных коробок, но с другим соотношением размеров. Это происходит потому, что способ расчета и построения формы заготовки в значительной степени зависит от относительной высоты коробки H/B и относительного радиуса углового закругления r/B, так как от их соотношения зависит степень вытеснения металла из угловых закруглений в боковые стенки коробки и увеличение их высоты».[2]

«В зависимости от сочетания размеров коробки (H/B, r/B) и различной степени вытеснения металла в боковые стенки установлены области, которым соответствуют разные способы построения заготовки.

Область, в которую попадает наша заготовка, охватывает однооперационную вытяжку относительно высоких коробок с большими радиусами угловых закруглений, выражаемыми зависимостью r/(B - H) 0,4, и характеризуется весьма большим перемещением металла из угловых закруглений в боковые стенки и значительным увеличением высоты последних. В большинстве случаев в этой области практически возможно при вытяжке квадратных коробок применить заготовку овальной формы с двумя закругленными и двумя прямолинейными сторонами». [2]

«Прямоугольные коробки с фланцем в большинстве случаев представляют собой относительно невысокие детали (*H/B* 0.6) при небольшой ширине фланца, предназначенного для соединения с другими деталями. Как правило, эти коробки можно изготовлять за одну операцию вытяжки, кроме коробок с очень малыми радиусами угловых или донных закруглений, требующих дополнительной операции калибровки».[1]

«При вытяжке прямоугольных коробок с фланцем ввиду значительной неравномерности деформации вдоль контура обязательно необходима последующая обрезка неровного фланца. Это упрощает технологические расчеты заготовки и построение ее формы, так как большой точности последних не требуется. Форму заготовки в данном случае можно значительно упростить, руководствуясь удешевлением вырубного или комбинированного штампа. Необходимо соблюдать следующие требования:

1) предотвратить нехватку поверхности металла заготовки; 2) устранить скопление заведомо лишнего металла в углах, затрудняющего процесс вытяжки».[2]

«В основу расчета и построение заготовки кладется известное правило – равенство площадей поверхности заготовки и коробки (с припуском на обрезку). При этом производят следующие подсчеты: определение длины выпрямленной стенки; определение радиуса заготовки R_{\bullet} в углах коробки». Длина выпрямленной стенки находится по формуле [2] (2.1) Строим сечение A - A и сечение B - B (рисунок 2.1).

Для сечения А - А

$$L_1 = \frac{100 - 43}{2} + 38.5 + 0.14 \times 5.25 = 68 \text{ mm}$$

Для сечения Б - Б

$$L_2 = \frac{191 - 151}{2} + 38,5 + 0.14 \times 5,25 = 59 \text{ mm}$$
 (2.1)

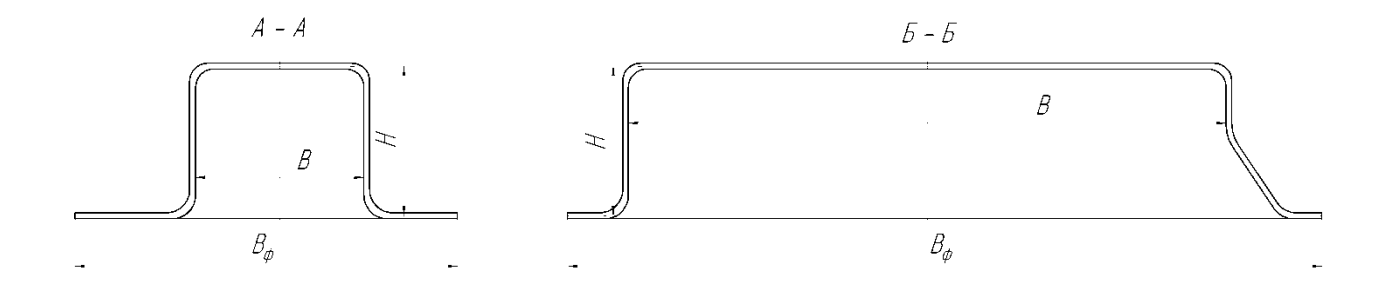


Рисунок 2.1- Продольное и поперечное сечения

«Радиус заготовки в углах коробки подсчитывается, как для вытяжки стаканчика с фланцем [1]:

$$R_0 = \sqrt{60^2 + 2 \times 15(38,5 - 0.86 \times 5,25)} = 68 \text{ mm}$$
 (2.2)

Построение заготовки производится путем развертки коробки на плоскость (рисунок 2.2). Вначале вычерчивается «контур коробки в плане; потом из центров угловых закруглений прямыми линиями отделяются угловые участки от прямолинейных; от границы донного закругления откладывается выпрямленная длина стенки L; из центров O проводятся дуги окружностей радиусом R_{\bullet} . Затем строится сопряжение линий контура, которое может быть как прямолинейным, так и криволинейным.

В зависимости от различного сочетания геометрических параметров коробки возможны разные способы построения переходной части в углах заготовок.[2]»

При небольшой глубине коробки H и при угловом радиусе r_y применяется сопряжение сторон радиусом, равным половине ширины заготовки (рисунок 2.3).

Исходная заготовка имеет форму овала (рисунок 2.4).

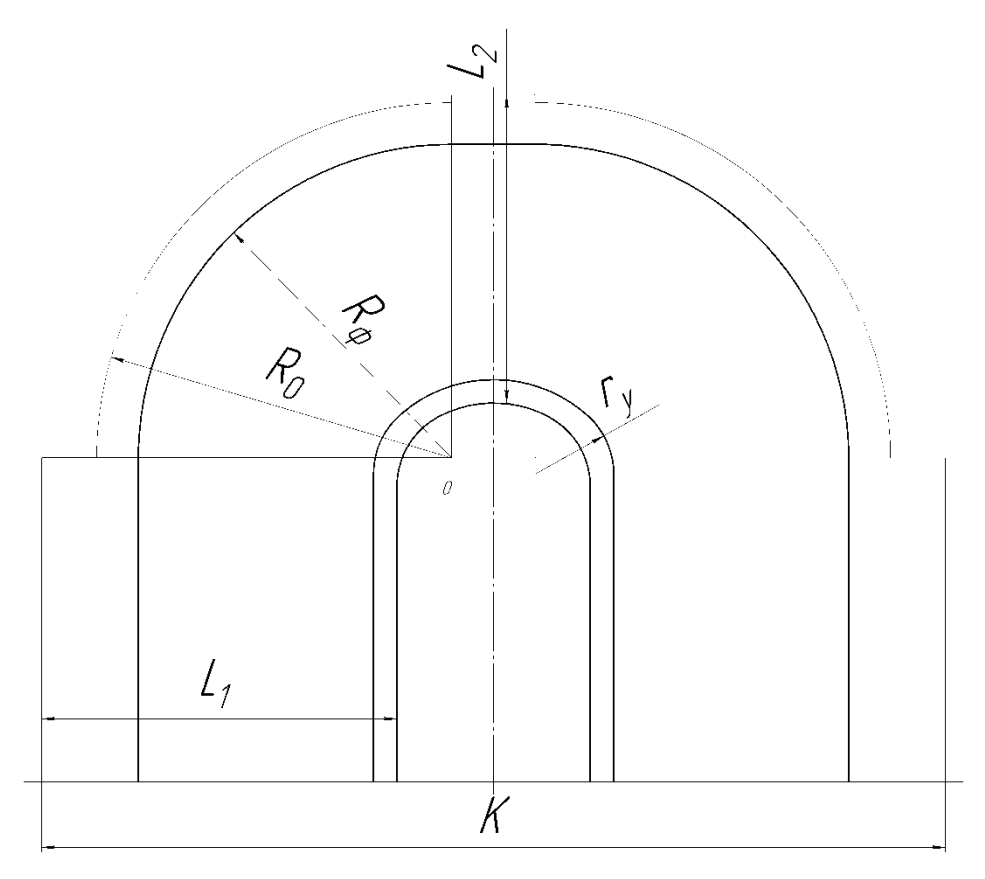


Рисунок 2.2 - Схема построения заготовки

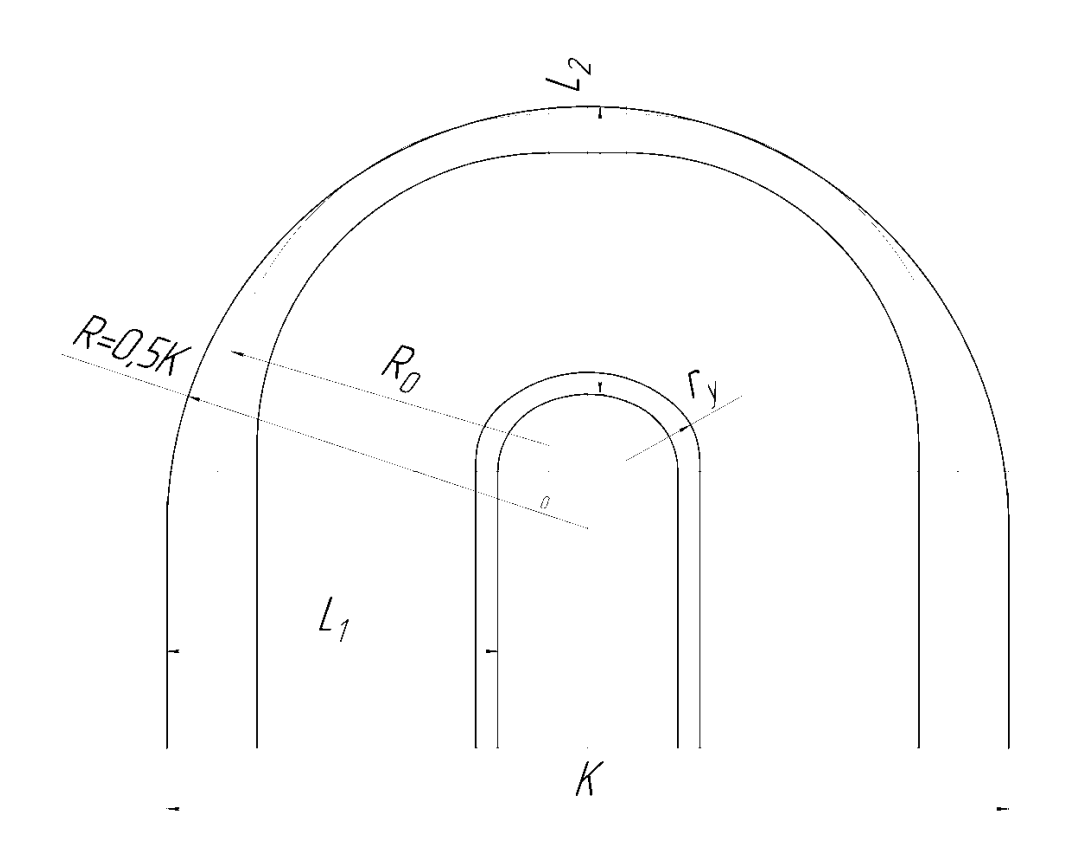


Рисунок 2.3 - Схема построения переходной части

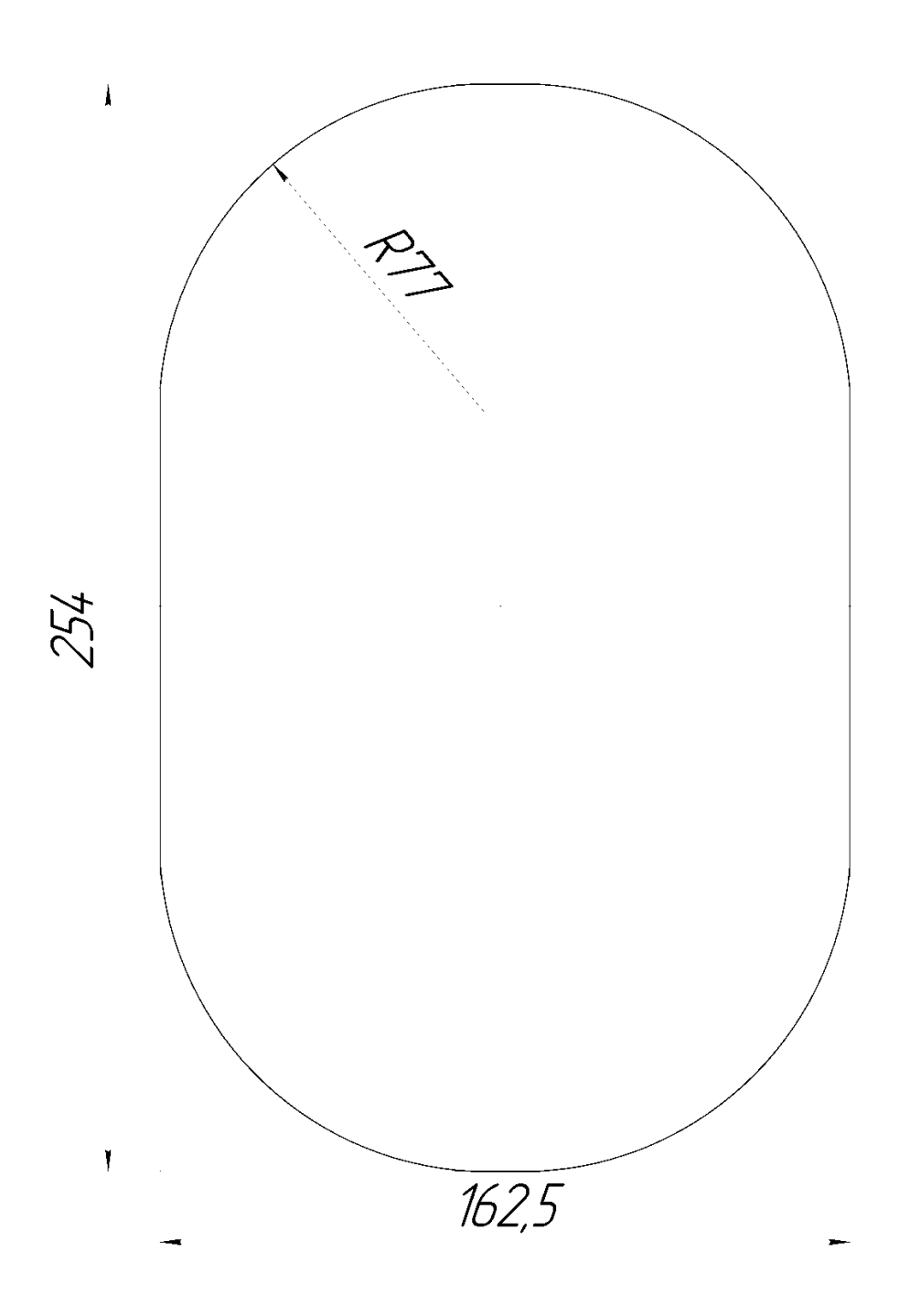


Рисунок 2.4 - Заготовка

2.3 Составление плана рационного раскроя металла и определение коэффициента применения использования материала (КИМ)

«Раскрой листового металла на штучные заготовки и полосы является первой операцией, связанной с потерями металла в виде обрезков и неиспользуемых отходов.

Раскрой материала, его выбор зависит в большей степени от конструкции штампуемой детали, что следует учитывать при разработке конструкции детали.

Экономия материала и уменьшение отходов в холодной листовой штамповке имеют весьма важное значение, особенно в крупносерийном и массовом производстве, так как при больших масштабах производства даже незначительная экономия металла на одном изделии дает в итоге большую экономию.[2]»

Исходный материал: 0,8ю ОСВ-2-Б, толщина 1,5 мм.

Тип раскроя - прямой. Применяется для деталей простой геометрической формы.

Рассчитываем ширину ленты B и шаг подачи t с учетом новых размеров заготовки [1].

$$B = A + 2b (2.3)$$

где A — ширина детали;

b — ширина перемычки.

$$B = 162,5 + 3 = 165,5 \text{ MM}$$

 $t = L + a$, (2.4)

где L – длина детали;

а – ширина перемычки.

$$t = 254 + 3 = 257 \text{ MM}$$

B – ширина ленты; B = 165,5 мм;

t – шаг подачи; t = 257 мм (рисунок. 2.5).

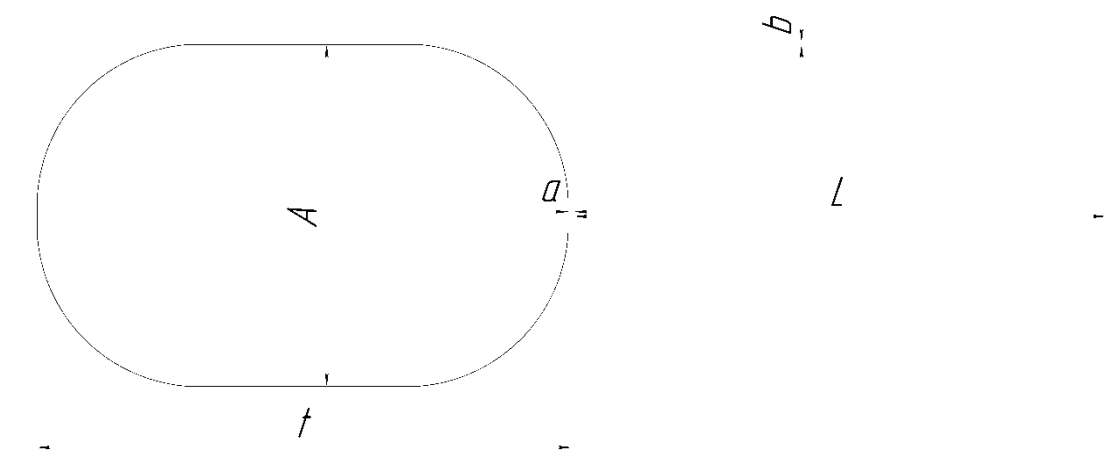


Рисунок 2.5 - Схема раскроя

С учетом новых размеров заготовки были изменены ширина ленты и шаг подачи.

«Показателем, характеризующим экономичность раскроя, является коэффициент использования материала η , представляющий собой отношение полезной площади детали F_0 к площади заготовки F_3 для изготовления этой детали при вырубке». [2] КИМ для данного раскроя:

$$\eta = \frac{F_0}{F_3} \times 100\%, \qquad (2.5)$$

$$\eta = (35955,6) / (42533,5) = 85\%$$

$$F_{\text{J}} = 3,14 \times (68^2) + 111,93 \times 162,5 + 16 \times 70,97 = 15496 + 18188,6 + 2271,04 = 35955,6 \text{ mm}^2$$

2.4 Вычисление операционных размеров штамповки

Данный технологический процесс состоит из 10-ти операций:

1. На первой операции выполнется вырубка. Определим величину периметра вырубаемого контура (рисунок 2.6).

$$L = AB + BC + CD + DA$$

где L – длина вырубаемого контура.

$$AB + CD = l = 2\pi R \tag{2.6}$$

где l – длина окружности

$$l = 2 \times 3,14 \times 81,25 = 510,25 \text{ MM}$$

$$L = 510,25 + 90 + 90 = 690,25$$
 MM:

2. На второй и третьей операциях выполняется последовательная вытяжка прямоугольной коробки. Причем вместе с первой вытяжкой пробиваются два технологических отверстия. Определяем операционные размеры на этих трех операциях.

«При вытяжке прямоугольных коробок вопрос усложняется тем, что геометрическая форма контура заготовки и коробчатой детали разные, следствием чего является неравномерное распределение деформаций по контуру, однако результирующая усредненная деформация та же: длина контура заготовки уменьшается и становится равной длине периметра коробки.

Для основных случаев многооперационной вытяжки коробчатых деталей общая деформация выражается следующими коэффициентами.[7]»

$$m_1 \circ 6 = (2("A + B)")/(0.5\pi(L + K)) = 1.27(A + B)/(L + K),$$
 (2.7)

где А и В – длина и ширина коробки;

L и K – длина и ширина заготовки (рисунок 2.7).

«Количество операций, необходимых при многооперационной вытяжке коробчатых деталей, может быть определено по таблице [2] в зависимости от общего коэффициента вытяжки и относительной толщины заготовки $\sqrt[5]{(L+K)200}$ ».

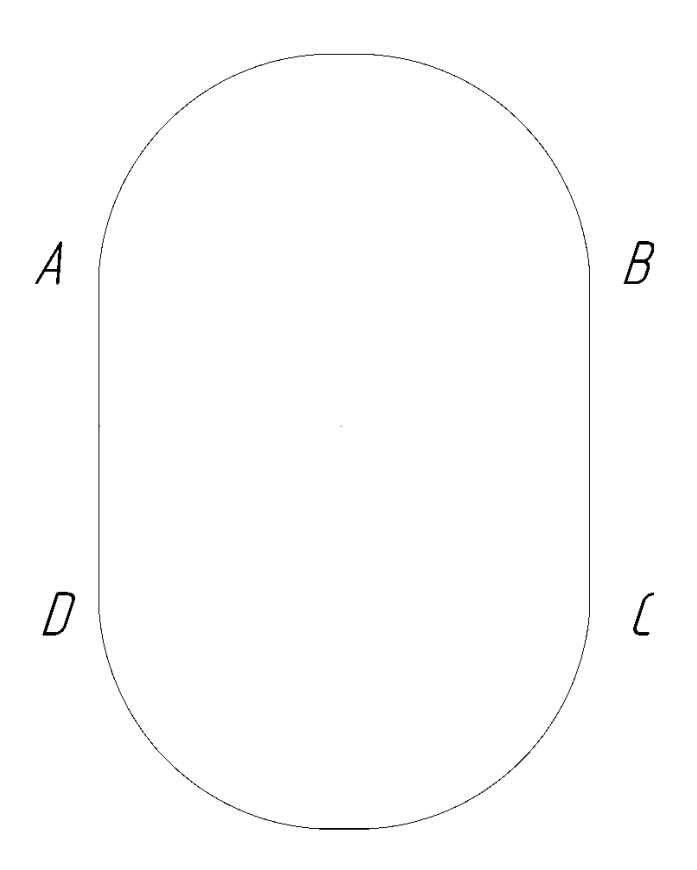


Рисунок 2.6 - Вырубаемый контур

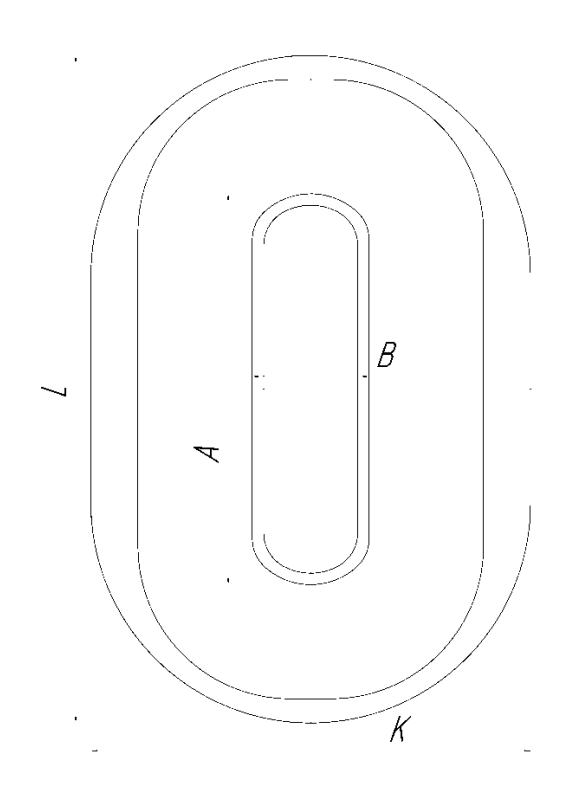


Рисунок 2.7 - Вытягиваемый контур

«После определения количества операций произведем расчет операционных размеров, начиная с предпоследнего перехода, являющегося наиболее ответственным (рисунок 2.8).

Производим расчет n — 1-го перехода (последней вытяжки) по средней степени деформации по контуру, характеризуемой средним коэффициентом вытяжки,[2]»

$$R_{b_{n-1}} = \frac{43 - 0.43 \times 15}{1.57 \times 0.9} = 27.25 \text{ mm}$$
 (2.8)

$$x = 5.75 + 0.41 \times 15 - 0.207 \times 43 = 2.9 \text{ MM}$$

Размеры n – 1-го перехода:

$$B_{n-1} = 2R_{b_{n-1}} \tag{2.9}$$

$$B_{n-1} = 2 \times 27,25 = 54,5 \text{ MM}$$

$$A_{n-1} = A + 2b_n \tag{2.10}$$

$$A_{n-1} = 151 - 2 \times 5,75 = 162,5 \text{ MM}$$

Высота коробки:

$$H = (1,05 \div 1,1)H_0 \tag{2.11}$$

$$H = (1,05 \div 1,1) \times 38,5 = 40,6 \text{ MM}$$

Высота перехода:

$$H_{n-1} \approx 0.88 \times 40,6 = 35,7$$
 мм

Определим величину периметра вытягиваемого контура:

$$L = CD + DE + EF + FC$$
 $FC + DE = l = 2\pi R$,
 $L = (2 \cdot 3.14 \cdot 27.25) + 2 \cdot 108 = 171.2 + 216 = 387.2 \text{ mm}$

3. Произведем расчет операционных размеров первого перехода вытяжки (рисунок 2.9).

Радиус n – 2-го перехода найдем по формуле [2]:

$$\mathbf{R}_{b_{n-2}} = \frac{R_{b_{n-1}}}{m_{n-1}}$$

$$R_{b_{n-2}} = \frac{27,25}{0.77} = 35,25 \text{ MM}$$
(2.12)

Размеры n – 2-го перехода:

$$B_{n-2} = 2R_{b_{n-2}} \tag{2.13}$$

$$B_{n-2} = 2 \times 35,25 = 70,5 \text{ mm}$$

$$A_{n-2} = A + 2(b_n + b_{n-1})$$
 (2.14)
$$A_{n-2} = 151 + 2(5,75 + 8) = 178,5 \text{ mm}$$

Высота перехода:

 $H_{n-2} \approx 0.86 \times 35,7 = 30,7$ мм

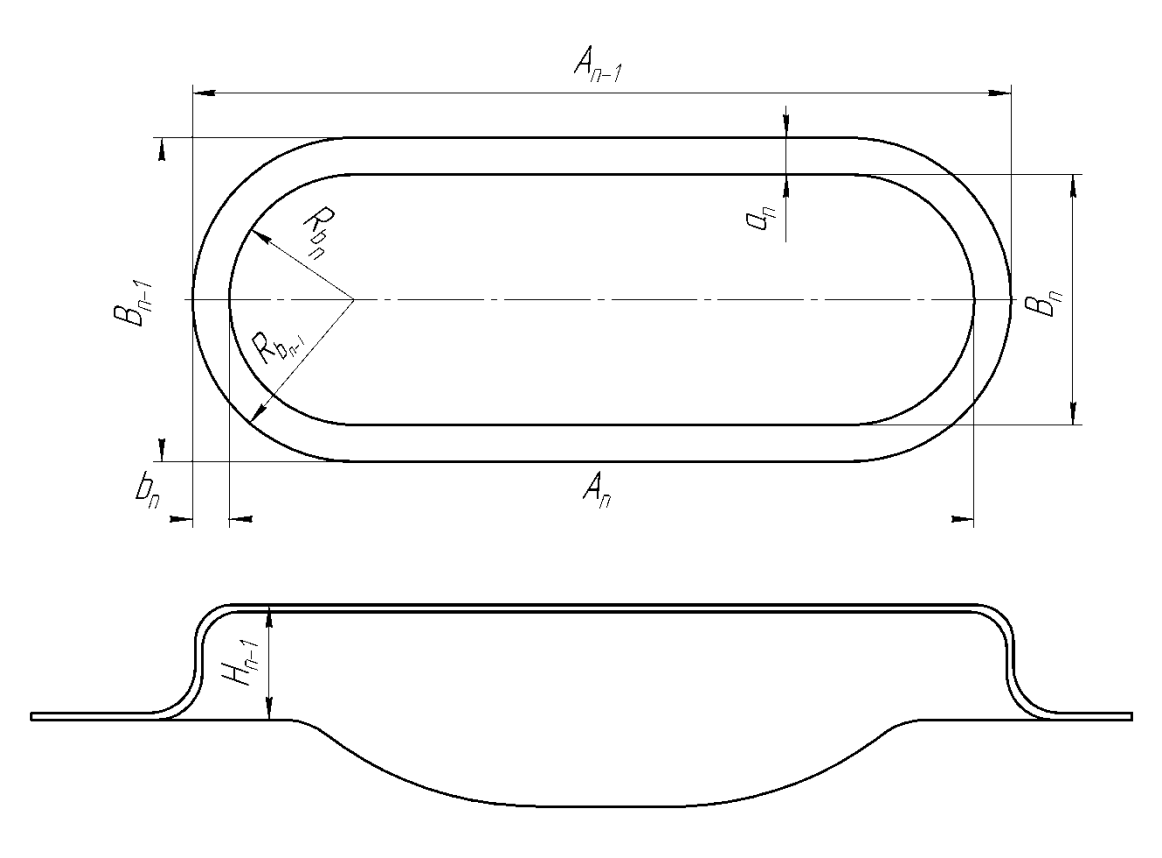
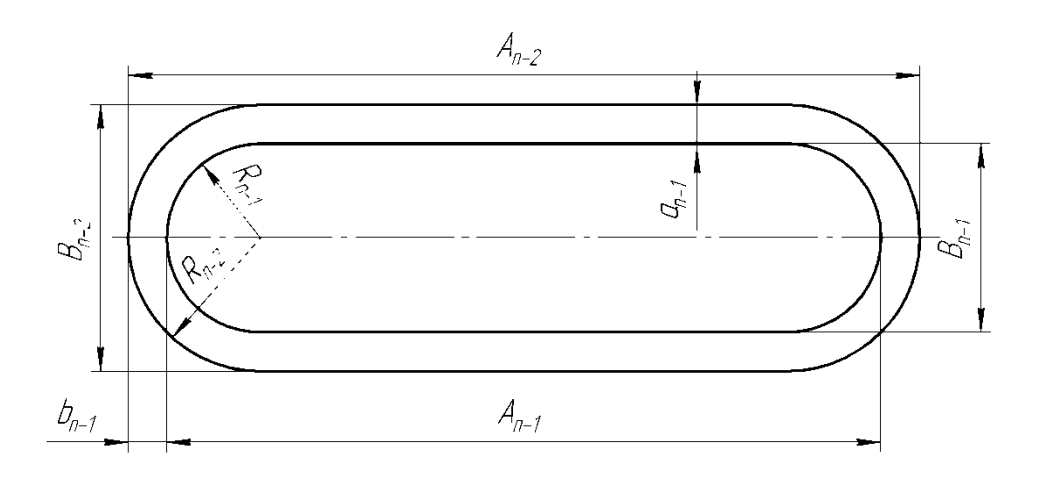


Рисунок 2.8 - Первая вытяжка



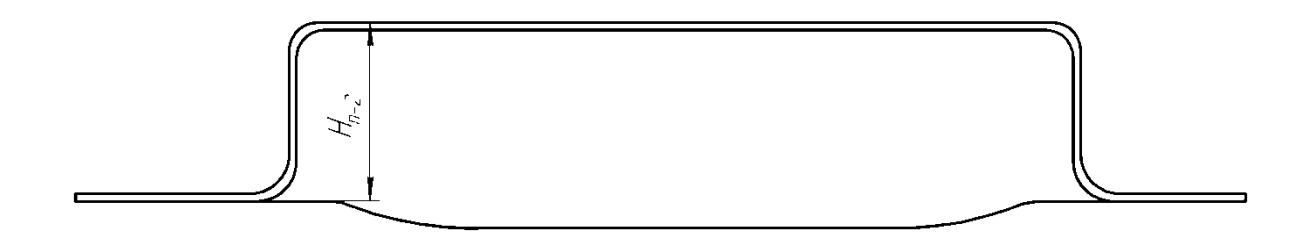


Рисунок 2.9 - Вторая вытяжка

Определим величину вытягиваемого контура:

$$L = CD + DE + EF + FC$$
 $FC + DE = l = 2\pi R$,
 $L = (2 \cdot 3,14 \cdot 35,25) + 2 \cdot 108 = 221,4 + 216 = 437,4 \text{ mm}$

Рассчитываем длину контура пробиваемых отверстий диаметров 12,2 мм.

$$l = 2\pi R$$
 $l = 2 \times 3,14 \times 12,2 = 76,6 \,\mathrm{MM}$

4. На четвертой операции выполняется правка, калибровка (рисунок 2.10). Определим длину контура:

$$L = CD + DE + EF + FG + GP + PM + MN + NC$$

Длину дуги находим по формуле:

$$l = \frac{\pi Rn}{180}$$

$$L = 2CD + 4DE + 2EF$$

$$L = 2 \times 118 + 4 \times 15,4 + 2 \times 28,7 = 355 \text{ MM}$$

5. На пятой операции выполняется пробивка. Определим длину пробиваемого контура (рисунок 2.11).

Определим величину пробиваемого контура:

$$L = AB + BC + CD + DA$$
 $AD + BC = l = 2\pi R$ $AD + BC = l = 2 \times 3,14 \times 14 = 87,92$ мм $L = 87,92 + 2 \times 108 = 303,92 \approx 304$ мм

6. На шестой операции выполняется отбортовка. Размеры данной операции были нами рассчитаны в пунктах 4 и 5 (рисунок 2.12).

$$L = 2 \times 118 + 4 \times 15,4 + 2 \times 28,7 = 355$$
 мм $l = 87,92 + 2 \times 108 = 303,92 \approx 304$ мм

7. На седьмой операции выполняется разбортовка. Определим длину контура (рисунок 2.13).

$$l = 2 \times 118 + 4 \times 15,4 + 2 \times 28,7 = 355$$
 мм $L = 2 \times 115 + 4 \times 39.25 + 2 \times 6.5 = 400$ мм

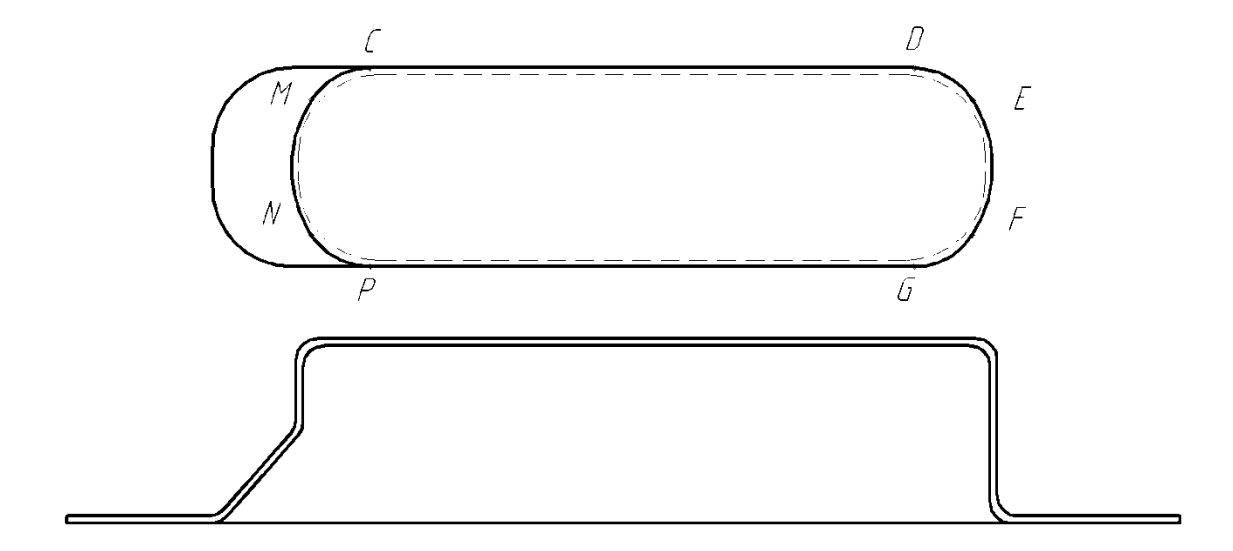


Рисунок 2.10 - Правка

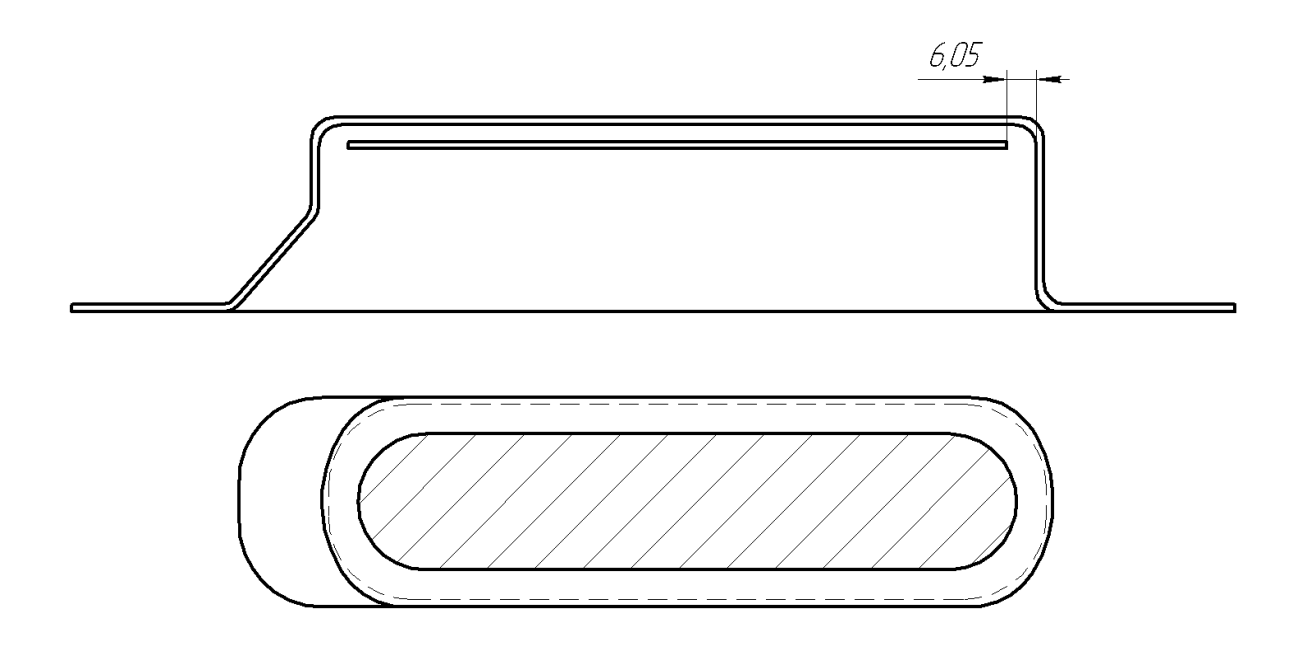


Рисунок 2.11 - Пробивка

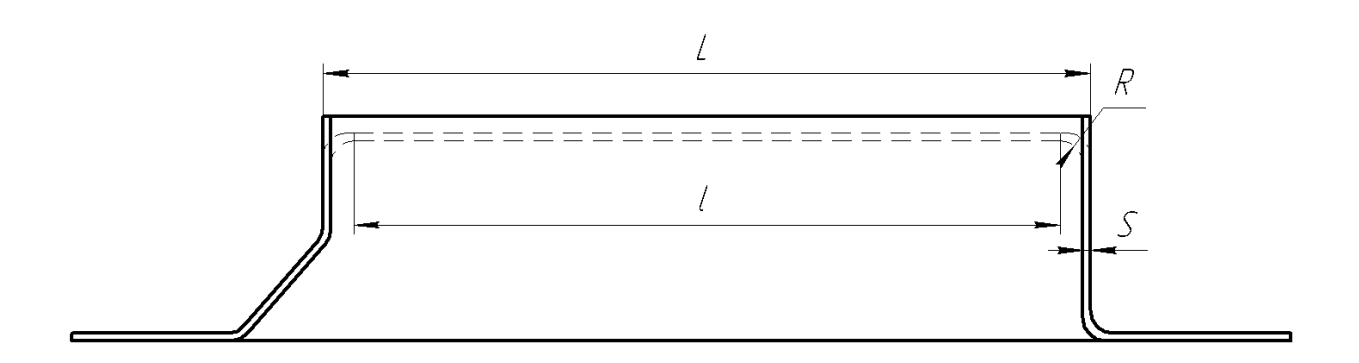


Рисунок 2.12 - Отбортовка

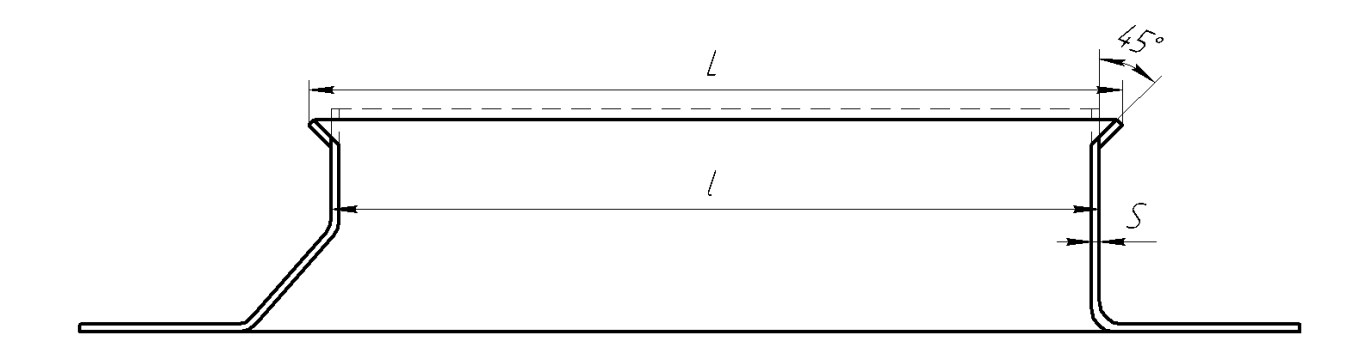


Рисунок 2.13 - Разбортовка

8. На восьмой операции выполняется осадка. Определим размеры для данной операции (рисунок 2.14).

$$l = 2 \times 115 + 4 \times 39.25 + 2 \times 6.5 = 400 \text{ mm}$$

 $L = 2 \times 116 + 4 \times 40 + 2 \times 7 = 406 \text{ mm}$

9. На девятой операции выполняется обрезка. Определим длину обрезаемого контура (рисунок 2.15).

$$L = CD + DE + EF + FG + GK + KM + MN + NO + OU + UC$$

Длину дуги находим по формуле:

$$l = \frac{\pi Rn}{180}$$

$$L = 53.6 + 176.9 + 57.04 + 80.27 + 75.85 + 22 + 13.7 + 12.6 + 26.3 + 3.5 = 521.8 \text{ mm}.$$

10. На десятой операции выполняется пробивка двух отверстий диаметром 7,5 мм и одного отверстия диаметром 5 мм.

$$L_1 = 2 \cdot 3,14 \cdot 7,5 = 47,1$$
 мм (2 отверстия);
 $L_2 = 2 \cdot 3,14 \cdot 5 = 31,4$ мм.

11. На последней операции выполняется клиновая пробивка четырех отверстий с диаметрами 3,6 мм и 14 мм.

$$L_1 = 2 \cdot 3,14 \cdot 14 = 87,9$$
 мм (2 отверстия);
 $L_2 = 2 \cdot 3,14 \cdot 3,6 = 22,6$ мм (2 отверстия).

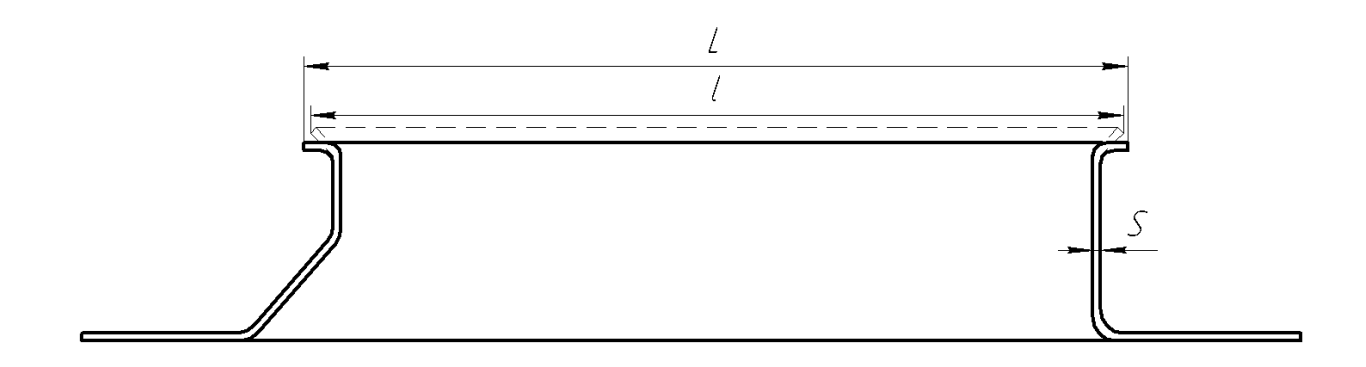


Рисунок 2.14 - Осадка

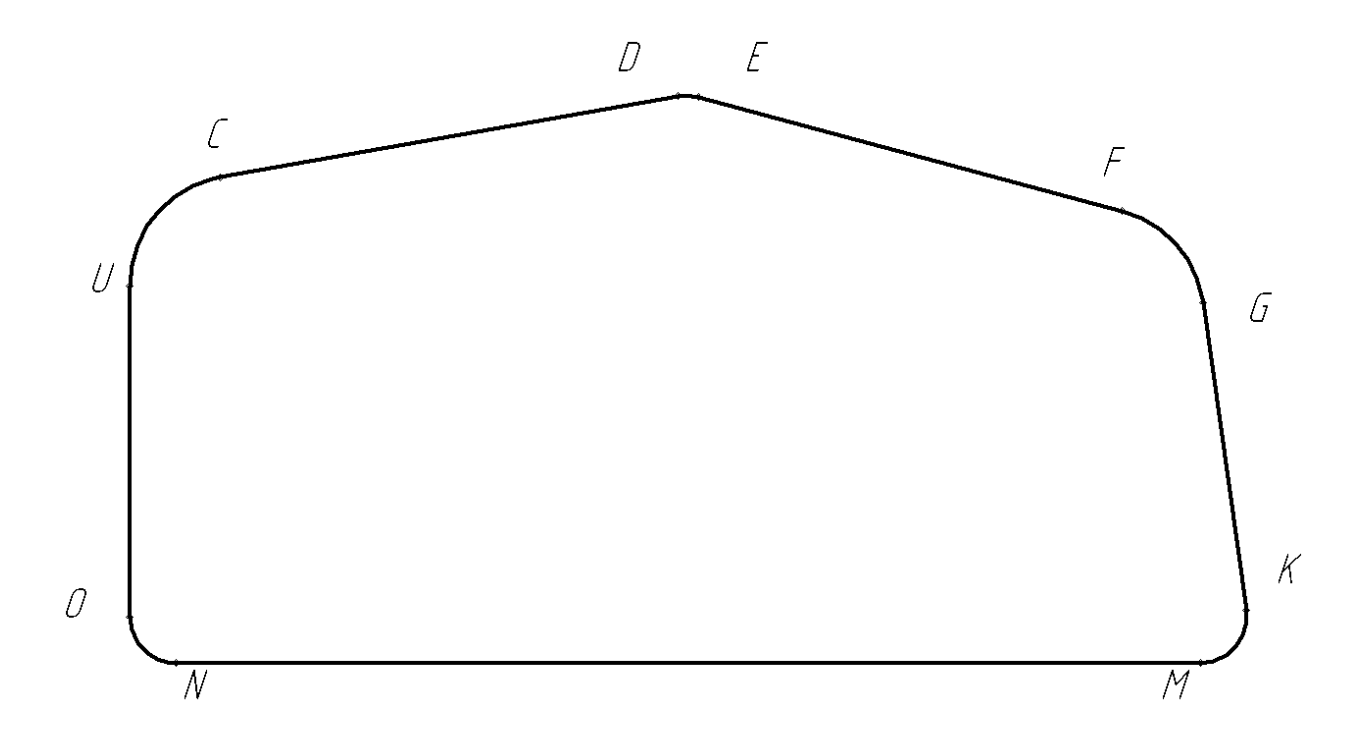


Рисунок 2.15 - Обрезка

2.5 Определение энергосиловых параметров штамповки

2.5.1 Вычисление энергосиловых параметров вырубки

«Определение величины усилия и работы в штампе с параллельными режущими кромками.

Определим необходимые усилия[2]:

$$P = L \cdot K \cdot S \cdot \sigma_{cp}, \tag{2.20}$$

где, K — коэффициент запаса (учитывает неоднородность металла по толщине, а также затупление режущих кромок), K = 1,0;

 σ_{cp} — сопротивление срезу: по таблице [2] для стали 08Ю при S =1,5 мм: σ_{cp} = 290 МПа;

S – толщина материала, S = 1,5 мм.

L – длина контура вырубки, рисунок 2.6».[13]

«Определим усилия снятия и усилие проталкивания отхода, если коэффициент снятия»[2] $K_{ch} = 1,0;[1]$.

$$\langle \langle P_{cH} = K_{cH} \cdot P \rangle, [2]$$
 (2.21)

где К_{сн} – коэффициент снятия;

$$\langle P_{cH} = 0.1 \cdot 0.300 = 0.0300 \text{ MH} \rangle [2]$$

$$P_{np} = K_{np} \cdot P \cdot n, \qquad (2.22)$$

где К_{пр} – коэффициент проталкивания;

n – количество режущих кромок.

$$P_{np} = 0.1 \cdot 0.300 = 0.0300 \text{ MH}$$

Тогда суммарное усилие составляет:

$$P_{\Sigma} = P + P_{cH} + P_{np},$$
 (2.23)

$$P\Sigma = 0.300 + 0.0300 + 0.0300 = 0.360 \text{ MH}$$

«Работа резания при вырубке «инструментом с параллельными режущими кромками»[2]

$$A = (x \cdot P_{\Sigma} \cdot S) / 1000,$$
 (2.24)

где x – коэффициент, зависящий от толщины металла; x = 0.5 - 0.55 [1];

 $P_{\Sigma}-$ суммарное усилие резания, MH;

S – толщина материала, мм.

$$A = 0.5 \cdot 0.360 \cdot 1.5 / 1000 = 270 Дж$$

Необходимости снижения усилия нет, поэтому используем инструмент с параллельными режущими кромками.

2.5.2 Вычисление энергосиловых параметров 1-ой вытяжки и пробивки отверстий

На второй операции выполняется 1-я вытяжка и пробивка двух технологических отверстий.

Определим необходимые усилия пробивки отверстий по ранее рассмотренной методике[2]:

$$P_1 = L \cdot K \cdot S \cdot \sigma_{cp}, \tag{2.25}$$

 σ_{cp} — сопротивление срезу: по таблице [2] для стали 08Ю при S =1,5 мм: σ_{cp} = 290 МПа;

S – толщина материала, S = 1,5 мм.

L – длина контура пробивки.

$$P_1 = 153,2 \cdot 2 \cdot 1,0 \cdot 1,5 \cdot 290 = 0,133 \text{ MH}$$

Определим необходимые усилия для 1-ой вытяжки:

$$P_2 \le LS\sigma_p \tag{2.26}$$

$$\sigma_p = (1,1-1,2)\sigma_{\mathbf{B}}$$

 $\sigma_{\rm B} = 330 \, {\rm Mna}; \, \sigma_{\rm B} - {\rm предел} \, {\rm прочности}$

$$\sigma_p = 1.2 \times 330 = 396$$
 Mna

 $P_2 \le 437,4 \times 1,5 \times 396 = 0,259 \text{ MH}$

Определяем усилия снятия и проталкивания:

$$P_{cH1} = 0.1 \cdot 0.133 = 0.0133 \text{ MH}$$

$$P_{cH2} = 0.1 \cdot 0.259 = 0.0259 \text{ MH}$$

$$P_{np1} = 0.1 \cdot 0.133 = 0.0133 \text{ MH}$$

Тогда суммарное усилие:

$$P_{\Sigma} = P_1 + P_2 + P_{cH1} + P_{cH2} + P_{\pi p1}$$

$$P_{\Sigma}\!=0,\!259+0,\!133+0,\!0133+0,\!0259+0,\!0133=0,\!444~MH$$

«Работа резания при пробивке:

$$A = (x \cdot P_{\Sigma} \cdot S) / 1000,$$

$$x = 0.5 - 0.55[1];$$

где х – коэффициент, зависящий от толщины металла;

 P_{Σ} – суммарное усилие резания, MH;

S – толщина материала, мм.

«
$$A = 0.5 \cdot 0.159 \cdot 1.5 / 1000 = 120$$
 Дж[2]»

«Работа вытяжки определяется по формуле:[2]»

где
$$C = 0.6...0.8 - коэффициент [1];$$

H - глубина вытяжки, H = 30,7 мм;

Р – усилие вытяжки, МН.

$$A = 0.8 \times 0.284 \times \frac{30.7}{1000} = 6975 \ Дж$$
 (2.27)

2.5.3 Вычисление энергосиловых параметров 2-ой вытяжки

На третьей операции выполняется 2-я вытяжка.

Определим необходимые усилия для 2-ой вытяжки по формуле (2.26):

$$P_2 \le LS\sigma_p$$

$$\sigma_p = (1,1-1,2)\sigma_B \qquad (2.28)$$

$$\sigma_B = 330 \text{ Мпа; } \sigma_B - \text{предел прочности}$$

$$\sigma_p = 1,2 \times 330 = 396 \text{ Мпа}$$

$$P_2 \le 387,2 \times 1,5 \times 396 = 0,229 \text{ MH}$$

$$P_{\text{CH}} = 0,1 \cdot 0,227 = 0,0229 \text{ MH}$$

Тогда суммарное усилие:

$$P_{\Sigma} = P_2 + P_{cH}$$

 $P_{\Sigma} = 0.229 + 0.0229 = 0.252 \text{ MH}$

2.5.4 Вычисление энергосиловых параметров правки

На четвертой операции выполнятся правка, калибровка.

Определим необходимые усилия для правки по формуле (2.26):

$$P_2 \le LS\sigma_p$$
 $\sigma_p = (1,1-1,2)\sigma_B$
 $\sigma_B = 330 \text{ Мпа; } \sigma_B - \text{предел прочности}$
 $\sigma_p = 1,2 \times 330 = 396 \text{ Мпа}$
 $P_2 \le 355 \times 1,5 \times 396 = 0,211 \text{ MH}$
 $P_{\text{CH}} = 0,1 \cdot 0,211 = 0,0211 \text{ MH}$

Тогда суммарное усилие:

$$P_{\Sigma} = P_2 + P_{ch}$$

$$P_{\Sigma} = 0.211 + 0.0211 + 0.0211 = 0.253 \text{ MH}$$

2.5.5 Вычисление энергосиловых параметров пробивки

На пятой операции производится пробивка.

Определим необходимые усилия пробивки по ранее рассмотренной методике[2]:

$$P_1 = L \cdot K \cdot S \cdot \sigma_{cp}$$

где K - коэффициент резерва, <math>K = 1,0;

 σ_{cp} — сопротивление срезу: по таблице [1] для стали 08Ю при S =1,5 мм: σ_{cp} = 290 МПа;

S – толщина материала, S = 1,5 мм.

L – длина контура вырубки, рисунок 2.6.

$$P_2 = 304 \cdot 1.0 \cdot 1.5 \cdot 290 = 0.132 \text{ MH}$$

Определяем усилия снятия и проталкивания:

$$P_{cH} = 0.1 \cdot 0.132 = 0.0132 \text{ MH}$$

 $P_{mp} = 0.1 \cdot 0.132 = 0.0132 \text{ MH}$

Тогда суммарное усилие:

$$P_{\Sigma} = P_{2} + P_{cH} + P_{np}$$

 $P_{\Sigma} = 0.132 + 0.0132 + 0.0132 = 0.158 \text{ MH}$

«Работа резания при пробивке по формуле (2.24):[2]»

$$(A = (x \cdot P_{\Sigma} \cdot S) / 1000, [2]$$

где x – коэффициент, зависящий от толщины металла; x = 0.5 - 0.55 [2];

 P_{Σ} – суммарное усилие резания, МН

S – толщина материала, мм.

$$A = 0.5 \cdot 0.158 \cdot 1.5 / 1000 = 118$$
 Дж

2.5.6 Вычисление энергосиловых параметров отбортовки

На шестой операции выполняется отбортовка.

Определим необходимые усилия для отбортовки по формуле [2]:

$$P = 1.1\pi S \sigma_{\mathbf{B}}(L - l) \tag{2.27}$$

 $\sigma_{\rm B}$ =330 Мпа; $\sigma_{\rm B}$ − предел прочности

$$P = 1.1 \times 3.14 \times 1.5 \times 330(355 - 304) = 0.087 \text{ MH}$$

Определяем усилия снятия и проталкивания:

$$P_{ch} = 0.1 \cdot 0.087 = 0.0087 \text{ MH}$$

Тогда суммарное усилие:

$$P_{\Sigma} = P_2 + P_{cH}$$

$$P_{\Sigma} = 0.087 + 0.0087 = 0.0957 \text{ MH}$$

Работу на этапе отбортовки определим приближенно, задавшись ходом деформирования (зная путь перемещения пуансона); будем использовать формулу (2.27), используемую для определения работы вытяжки:

$$A = 0.8 \times 0.0957 \times 6.5 \frac{2}{1000} = 497$$
 Дж

2.5.7 Вычисление энергосиловых параметров разбортовки

На седьмой операции выполняется разбортовка.

Определим необходимые усилия для разбортовки по формуле

$$P = 1.1\pi S \sigma_{\mathbf{B}} (L - l) \tag{2.27}$$

 $\sigma_{\rm B} = 330 \, {\rm Mna};$

ов − предел прочности

$$P = 1.1 \times 3.14 \times 1.5 \times 330(400 - 355) = 0.077 \text{ MH}$$

Определяем усилия снятия и проталкивания:

$$P_{cH} = 0.1 \cdot 0.077 = 0.0077 \text{ MH}$$

Тогда суммарное усилие:

$$P_{\Sigma} = P_2 + P_{cH}$$

$$P_{\Sigma} = 0.077 + 0.0077 = 0.0847 \text{ MH}$$

Определим работу по формуле (2.27):

$$A = 0.8 \times 0.0847 \times 4\frac{2}{1000} = 271$$
 Дж

2.5.8 Вычисление энергосиловых параметров осадки

На шестой операции выполняется осадка.

Определим необходимые усилия для осадки по формуле (2.27):

$$P = 1,1\pi S \sigma_B (L - l)$$

 $\sigma_{\bf B}$ =330 Мпа; $\sigma_{\bf B}$ − предел прочности

$$P = 1.1 \times 3.14 \times 1.5 \times 330(406 - 400) = 0.010 \text{ MH}$$

Определяем усилия снятия и проталкивания:

$$P_{ch} = 0.1 \cdot 0.132 = 0.0010 \text{ MH}$$

Тогда суммарное усилие:

$$P_{\Sigma} = P_2 + P_{cH}$$

$$P_{\Sigma} = 0.010 + 0.001 = 0.011 \text{ MH}$$

Определим работу по формуле (2.27):

$$A = 0.8 \times 0011 \times 6\frac{2}{1000} = 53$$
 Дж

2.5.9 Вычисление энергосиловых параметров пробивки отверстий «На девятой операции выполняется пробивка трех отверстий.

Определим необходимые усилия пробивки отверстий по ранее рассмотренной методике

$$P_2 = L \cdot K \cdot S \cdot \sigma_{cp} \tag{2.25}$$

где K — коэффициент запаса (учитывает неоднородность металла по толщине, а также затупление режущих кромок), K = 1,0;[2]»

 $\sigma_{cp}-\text{сопротивление срезу: по таблице [2] для стали 08Ю при S =1,5 мм: } \\ \sigma_{cp}=290 \text{ МПа; }$

S – толщина материала, S = 1,5 мм.

L – длина контура вырубки, рис. 2.6.

$$P_1 = 47.1 \cdot 1.0 \cdot 1.5 \cdot 290 = 0.021 \text{ MH } (0.042 \text{ MH})$$

$$P_2 = 31.4 \cdot 1.0 \cdot 1.5 \cdot 290 = 0.014 \text{ MH}$$

Определяем усилия снятия и проталкивания:

$$P_{cH1} = 0.1 \cdot 0.042 = 0.0042 \text{ MH}$$

$$P_{cH2} = 0.1 \cdot 0.014 = 0.0014 \text{ MH}$$

 $P_{mp1} = 0.1 \cdot 0.042 = 0.0042 \text{ MH}$
 $P_{mp2} = 0.1 \cdot 0.014 = 0.0014 \text{ MH}$

Тогда суммарное усилие:

$$P_{\Sigma} = P_1 + P_2 + P_{cH1} + P_{cH2} + P_{np1} + P_{np2}$$

 P_{Σ} = 0,042 + 0,014 + 0,0042 + 0,0014 + 0,0042 + 0,0014 = 0,067 МН «Работа резания при пробивке (2.24):

$$A = (x \cdot P_{\Sigma} \cdot S) / 1000,$$

где x – коэффициент, зависящий от толщины металла; x = 0.5 - 0.55 [2];

 P_{Σ} – суммарное усилие резания, MH;

S – толщина материала, мм.

$$A = (0.5 \cdot 0.067 \cdot 1.5) / 1000 = 50 Дж.[2]$$
»

2.5.10 Вычисление энергосиловых параметров обрезки

На десятой операции производится обрезка.

Определим необходимые усилия обрезки по ранее рассмотренной методике

$$P_2 = L \cdot K \cdot S \cdot \sigma_{cp}, \qquad (2.25)$$

где K – коэффициент запаса (учитывает неоднородность металла по толщине, а так же затупление режущих кромок), K = 1,0;

 σ_{cp} — сопротивление срезу: по таблице [2] для стали 08Ю при S =1,5 мм: σ_{cp} = 290 МПа;

S – толщина материала, S = 1,5 мм.

L – длина контура вырубки, рисунок 2.6.

$$P_2 = 521.8 \cdot 1.0 \cdot 1.5 \cdot 290 = 0.227 \text{ MH}$$

Определяем усилия снятия и проталкивания:

$$P_{ch} = 0.1 \cdot 0.227 = 0.0227 \text{ MH}$$

$$P_{\text{IID}} = 0.1 \cdot 0.227 = 0.0227 \text{ MH}$$

Тогда суммарное усилие:

$$P_{\Sigma} = P_2 + P_{cH} + P_{np}$$

$$P_{\Sigma} = 0.227 + 0.0227 + 0.0227 = 0.272 \text{ MH}$$

Работа резания при обрезке (2.24):

$$A = (x \cdot P_{\Sigma} \cdot S) / 1000,$$

где x – коэффициент, зависящий от толщины металла; x = 0.5 - 0.55 [2];

 P_{Σ} – суммарное усилие резания, МН;

S – толщина материала, мм.

$$A = (0.5 \cdot 0.272 \cdot 1.5) / 1000 = 204 \, \text{Дж}$$

2.5.11 Вычисление энергосиловых параметров клиновой пробивки

На десятой операции производится клиновая пробивка. Определим необходимые усилия пробивки отверстий по ранее рассмотренной методике

$$P_2 = L \cdot K \cdot S \cdot \sigma_{cp}, \qquad (2.25)$$

где K — коэффициент запаса (учитывает неоднородность металла по толщине, а также затупление режущих кромок), K = 1,0;

 $\sigma_{cp}-\text{сопротивление срезу: по таблице [2] для стали 08Ю при S =1,5 мм: } \\ \sigma_{cp}=290 \text{ M}\Pi a;$

S – толщина материала, S = 1,5 мм.

L – длина контура вырубки, рис. 2.6.

$$P_1 = 87.9 \cdot 1.0 \cdot 1.5 \cdot 290 = 0.038 \text{ MH } (0.076 \text{ MH})$$

$$P_2 = 22.6 \cdot 1.0 \cdot 1.5 \cdot 290 = 0.010 \text{ MH } (0.020 \text{ MH})$$

Определяем усилия снятия и проталкивания:

$$P_{cH1} = 0.1 \cdot 0.076 = 0.0076 \text{ MH}$$

$$P_{\text{cH2}} = 0.1 \cdot 0.020 = 0.0020 \text{ MH}$$

$$P_{\text{np1}} = 0.1 \cdot 0.076 = 0.0076 \text{ MH}$$

$$P_{mp2} = 0.1 \cdot 0.020 = 0.0020 \text{ MH}$$

Тогда суммарное усилие:

$$P_{\Sigma} = P_{1} + P_{2} + P_{cH1} + P_{cH2} + P_{np1} + P_{np2}$$

$$P_{\Sigma} = 0.076 + 0.020 + 0.0076 + 0.0020 + 0.0076 + 0.0020 = 0.115 \text{ MH}$$

«Работа резания при пробивке (2.24):

$$A = (x \cdot P_{\Sigma} \cdot S) / 1000,$$

где x - коэффициент, зависящий от толщины металла; x = 0.5 - 0.55 [2];

 P_{Σ} – суммарное усилие резания, МН;

S – толщина материала, мм.

$$A = (0.5 \cdot 0.115 \cdot 1.5) / 1000 = 86 Дж.[2]$$
»

Теперь требуется просуммировать все найденные для каждой операции (кроме заготовительного этапа — резки заготовок) значения усилий, чтобы определить — какими энерго-силовыми параметрами должно обладать новое оборудование (пресс-автомат).

Суммарное усилие на всех операциях:

$$P_{\text{CYMM.}} = P_{\text{ЭТАП}_1} + P_{\text{ЭТАП}_2} + P_{\text{ЭТАП}_3} + P_{\text{ЭТАП}_4} + P_{\text{ЭТАП}_5} + P_{\text{ЭТАП}_6} + P_{\text{ЭТАП}_7} + P_{\text{ЭТАП}_8}$$
(9. 29)

$$P_{\text{СУММ.}} = 0,360 + 0,444 + 0,252 + 0,253 + 0,0957 + 0,067 + 0,272 = 1,74 МН$$
 (или 174 т.с.).

Суммарная работа на всех операциях:

$$A_{\text{СУММ.}} = A_{\text{ЭТАП}\underline{1}} + A_{\text{ЭТАП}\underline{2}} + A_{\text{ЭТАП}\underline{3}} + A_{\text{ЭТАП}\underline{4}} + A_{\text{ЭТАП}\underline{5}} + A_{\text{ЭТАП}\underline{6}} + A_{\text{ЭТАП}\underline{7}} + A_{\text{ЭТАП}\underline{8}}$$
 (2.30) $A_{\text{СУММ.}} = 270 + (6975 + 120) + 7197 + 7792 + 118 + 497 + 50 + 204 = 23223 Дж.$

3 Подбор оборудования и средств автоматизации

«Оборудование для холодной штамповки подразделяют на механические прессы, гидравлические прессы, молоты, ротационные машины, автоматы, различные ножницы и др.

Наибольшее применение в штамповочных цехах находят универсальные и специальные механические прессы и пресс-автоматы.[7]»

На универсальных прессах выполняют операции гибки, резки, вырубки, пробивки, обрезки, неглубокой вытяжки. На прессах двойного и тройного действия выполняют операции глубокой вытяжки листового материала.

Специальные прессы конструктивно приспособлены к выполнению определенных операций или штамповки определенных изделий.

Пресс-автоматы, многопозиционные прессы применяют на современных машиностроительных заводах в массовом и крупносерийном производствах. Штамповку выполняют последовательным способом, причем при работе на многопозиционных прессах по сравнению с комбинированным способом получают экономию метала.

Конструкции механических прессов, автоматов, многопозиционных прессов и другого оборудования, применяемого в холодноштамповочном производстве, непрерывно совершенствуют.

Повышается их производительность и оснащенность устройствами для механизации работы, улучшается удобство их обслуживания. Кроме того, проявляется тенденция к расширению технологических возможностей оборудования и повышению безопасности труда.

3.1 Подбор типоразмера. Основные промышленные характеристики

Существует множество параметров, которые необходимо учитывать при выборе оборудования для той или иной операции. «К основным параметрам относятся [7]:

- усилие пресса, которое должно быть больше требуемого;
- мощность, которая должна обеспечивать выполнение работы на операции;
- габаритные размеры стола и ползуна должны обеспечивать установку штампа;
- пресс должен обладать достаточной жесткостью;
- обеспечивать необходимую нам производительность и точность изготовления детали;
- оборудование должно быть оснащено необходимыми устройствами

для подачи заготовки и удаления отхода».

«Недостаточно производить выбор пресса только по усилию, так как могут быть разные случаи перегрузки пресса:

- пресс перегружен по допускаемому усилию, в результате чего происходит деформация вала, а затем и поломка пресса;
- пресс перегружен по мощности, но не перегружен по допускаемому усилию. В этом случае происходит затормаживание и резкое падение частоты вращения маховика, вызывающее недопустимое скольжение электродвигателя, перегрев его обмотки и порчу изоляции. В результате непродолжительной работы электродвигатель выходит из строя.[7]»

Немаловажным фактором при выборе оборудования является безопасность при работе на нем.

«Проверяем по усилию с помощью поправочного коэффициента [10]:

$$P = P_{\Sigma} \cdot K_{\text{nonn}}, \tag{3.1}$$

где P_{Σ} — суммарное усилие операций, производимых на данном оборудовании, МН;

 $K_{\text{попр}}$ – поправочный коэффициент, $K_{\text{попр}} = 1,5$.

$$P = 1.74 \cdot 1.5 = 2.61 \text{ MH}$$

Необходимая нам мощность равна [10]:

$$N = \frac{A}{t},\tag{3.2}$$

где A – суммарная работа на всех операциях, производимых на данном оборудовании, Дж;

t - время, затрачиваемое на деформацию, с.

$$N = \frac{23223}{0,725} = 32031 \text{ Bt} = 32,031 \text{ kBt.}[2]$$
»

Для изготовления данной детали выбираем многопозиционный пресс Барнаул (AA6136) усилием 4,0 МН мощностью 75 кВт. Данное оборудование подходит по силовым характеристикам, закрытой высоте, размерам стола пресса. Отличительной особенностью данного оборудования является его

быстродействие. Оно обладает широким диапазоном регулирования ходов, достаточно универсален. Общий вид пресса представлен на рисунок 3.1.

Техническая характеристика на многопозиционный пресс Барнаул (AA6136) представлена в таблице 3.1.

Таблица 3.1 – Техническая характеристика на многопозиционный пресс Барнаул (AA6136)

Характеристика	Значение	
Номинальное усилие пре	4,0	
Ход главного ползуна		360
Ход вырубного ползуна		60
Закрытая высота пресса,	MM	800
Число ходов ползуна, ход	д/мин	
На режиме "Автомат"		16 - 32
На режиме "Наладка", "3	Замедленный ход"	3
Число позиций (включая	8	
Расстояние между позиц	иями, мм	400
Расстояние между грейо	рерными линейками в сомкнутом положении,	400; 500; 600
MM		
Раздвижение грейферных	х линеек, мм	240
Расстояние от стола выру	убной позиции до уровня подачи ленты, мм	820
Максимальная ширина	при однорядной вырубке	400
ленты, мм	при двухрядной вырубке	630
Число пневмоподушек в	столе, шт	7
Число выталкивателей в	7	
Габаритные размеры пре		
Длина	6000	
Ширина		4330
Высота		5880

Продолжение таблицы 3.1

Характеристика		Значение
Главный электродвигатель	Мощность, кВт	75
тип П - 92	Число оборотов в минуту	1500

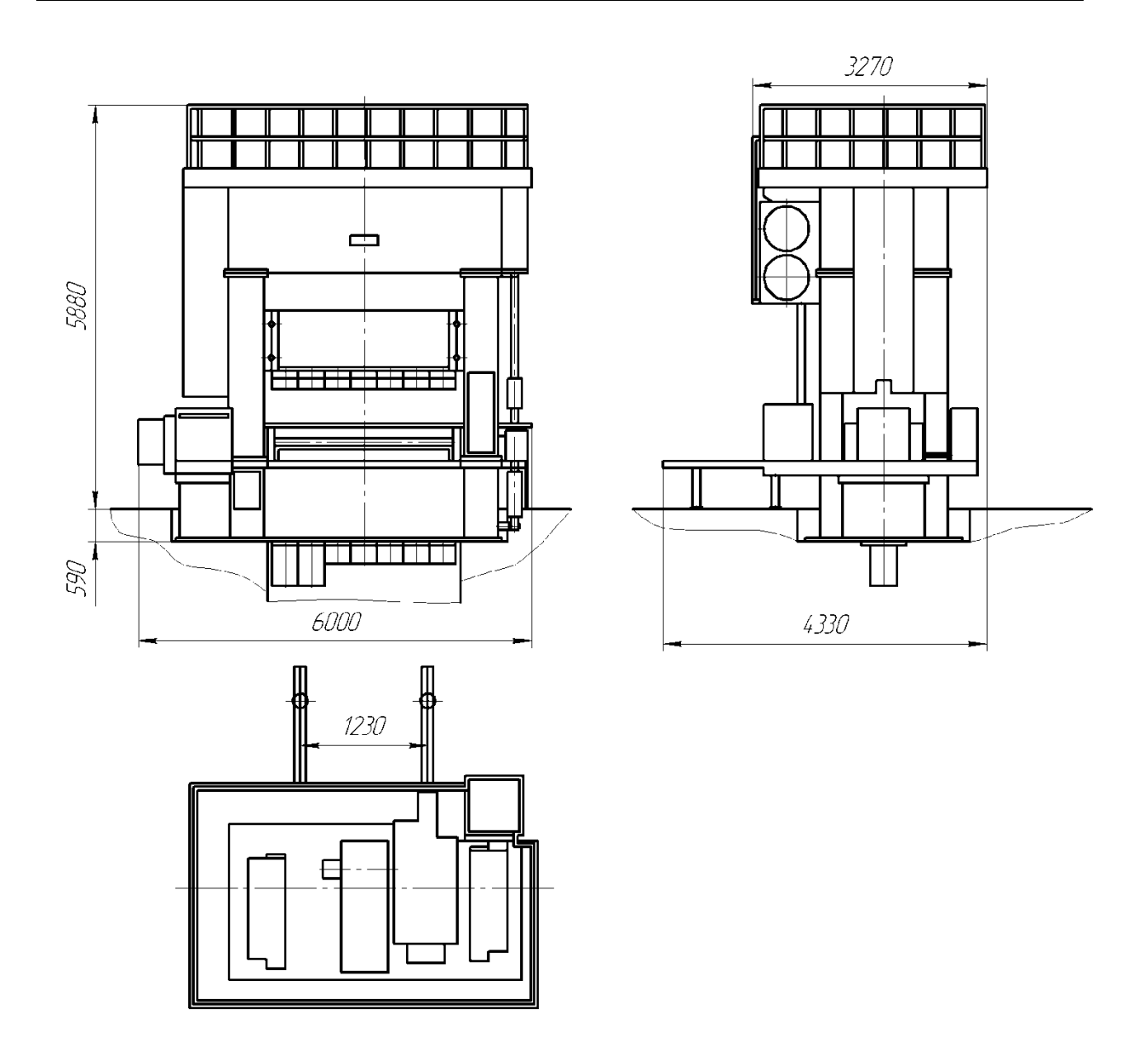


Рисунок 3.1 - Общий вид пресса Барнаул 400 (АА6136)

3.2 Подбор средств автоматизации. Основные промышленные характеристики

«Автоматизация холодной листовой штамповки - одно из основных средств повышения производительности труда, более полного использования оборудования, роста эффективности производства. Кроме того, средства автоматизации значительно облегчают условия труда и обеспечивают его безопасность, а также способствуют снижению трудоемкости и себестоимости деталей. При автоматизации все процессы формоизменения и транспортировки детали в процессе обработки проходят без участия человека. В функции оператора входит лишь слежение за правильностью работы механизмов и системы их управления.

Устройства автоматизации выбираются из конкретных условий технологического процесса и вида материала. В зависимости от вида материала применяются следующие типы автоматических устройств для подачи заготовок в зону обработки:

- для рулонного и полосового материала автоматизация подачи при помощи устройств валкового и крючкового типов;
- 2) для листового материала механизация и автоматизация подъема и направления листа в штамп (листозагрузочные устройства);
- 3) для штучных заготовок автоматизация подачи при помощи бункерных и грейферных устройств.[2]»

«Автоматизация обработки рулонного материала достигается путем использования механизмов для подготовки и подачи материала в зону обработки, устройств для удаления готовых деталей и отходов штамповки, а также дополнительных устройств и механизмов, обеспечивающих бесперебойность работы и облегчающих выполнение вспомогательных операций при заправке и доработке рулона.[2]»

Автоматическая линия состоит из автоматизированной рулонницы, правильного устройства, рольгангов, петлеобразователя, грейферных линеек, пресса двухкривошипного типа с валковой подачей.

«Рулонница служит для разматывания ленты с рулона, закрепленного на барабане. Скорость размотки при непрерывно меняющемся диаметре рулона сохраняется постоянной, достигается это приводом постоянного тока с тиристорным преобразователем. Для предотвращения самопроизвольного разматывания рулона разматывающее устройство снабжено откидным рычагом с прижимным роликом, который гидравлическим цилиндром постоянно прижимается к поверхности рулона и контролирует диаметр рулона во время размотки.

Загрузочная тележка с подъемником предназначена для подачи рулона к разматывающему устройству и установки на барабан.

Правильное устройство предназначено для рихтовки рулонной ленты методом перегиба перед её подачей в петлевой компенсатор. Правка ленты осуществляется девятью правильными валками. Приводными являются все нижние и два верхних правильных валка, а также нижний и верхний валки задающей клети. Привод валков выполняется тиристорным регулируемым приводом постоянного тока через зубчатую и цепную передачи. На выходе ленты установлен поддерживающий рольганг.

Петлевой компенсатор служит для синхронизации работы механизмов разматывания и правки ленты с работой шаговой подачи. Контроль петли осуществляется с помощью контактных выключателей.

Валковая подача односторонняя толкающая предназначена ДЛЯ периодической автоматической подачи ленты В штамп пресса на определенный заданный шаг. Электронное программное устройство к валковой подаче предназначено для плавного регулирования скорости подачи ленты в штамп и обеспечения заданной точности подачи. На выходе из валковой подачи лента обкатывается измерительными роликами. Верхний ролик поджимается к ленте гидравлическим цилиндром, нижний ролик жестко связан с валком счетного устройства, передающего импульсы на электронное программное устройство.[2]»

Грейферные линейки предназначены для транспортировки в ориентированном положении штучных заготовок или полуфабрикатов в рабочую зону штампов и из штампов. Эти механизмы используют для переноса деталей по позициям штампа последовательного действия. В данной линии используются двухкоординатные грейферные линейки т. е. совершают поперечный ход для захвата полуфабрикатов и продольный для переноса полуфабрикатов по позициям.

3.3 Представление работы механической линии

«Автомат АА6136 (рисунок 3.2) предназначен для последовательной автоматической многопозиционной холодной листовой штамповки изделий из ленты или штучных заготовок с автоматическим переносом полуфабрикатов с каждой предыдущей операции (позиции) на последующую специальными захватами, закрепленными на грейферных линейках.[2]»

Исходный материал из разматывающего устройства (2) поступает в правильную клеть правильной машины (3). Разматывающее устройство удерживает рулон на позиции размотки и обеспечивает его автоматическое разматывание в темпе работы пресса. Правильное устройство пропускает материал через девять валков, расположенных в шахматном порядке, которые имеют собственный привод, сблокированный со скоростью разматывающего устройства. Правильное устройство имеет прижимной (8),ролик который фиксирует рулон ПО наружному Петлеобразователь (4) служит накопителем длины ленты для прерывистой подачи её в полость штампа. Петлю набирают вниз до уровня пола. Контроль величины петли осуществляется с помощью контактных датчиков, связанных электрически c валом разматывающего устройства. Датчики устанавливаются на контролируемых Выправленная уровнях. лента деформируется в петлеобразователе в упругой зоне. В зону штамповки материал подается при помощи валковой подачи (5) толкающего типа, обеспечивающей высокую точность подачи. Верхний валок имеет возможность отходить вверх при выстое ленты. Прежде чем лента заходит в механизм валковой подачи, лента проходит через устройство для смазки (6). Затем лента попадает в ножницы (7), где обрезается отход. Включается в работу привод грейферных линеек. При этом ползун пресса находится в верхнем положении, грейферные линейки в переднем разведенном состоянии. Грейферные линейки путем продольного и поперечного перемещения, транспортируют полуфабрикат с позиции на позицию.

Удаление деталей производится при помощи грейферных линеек на склиз. Склизы для удаления деталей изготовлены по месту и закреплены на штампах.

Автомат (1) имеет два ползуна – главный и вырубной, который вместе с консольно выступающей частью стола образует выносную позицию. Здесь на отдельной съемной плите смонтированы механизмы валковой подачи, двухрядной шахматной вырубки, резки отходов (ножницы); рядом (слева) установлено устройство для подачи штучных заготовок, спереди правильное и разматывающее устройство.

Штампуемое изделие транспортируется вдоль позиций грейфером. В столе автомата смонтированы пневматические подушки, на главном ползуне штамподержатели (патроны) с пневматическими выталкивателями, и предусмотрены места для встройки предохранителей.

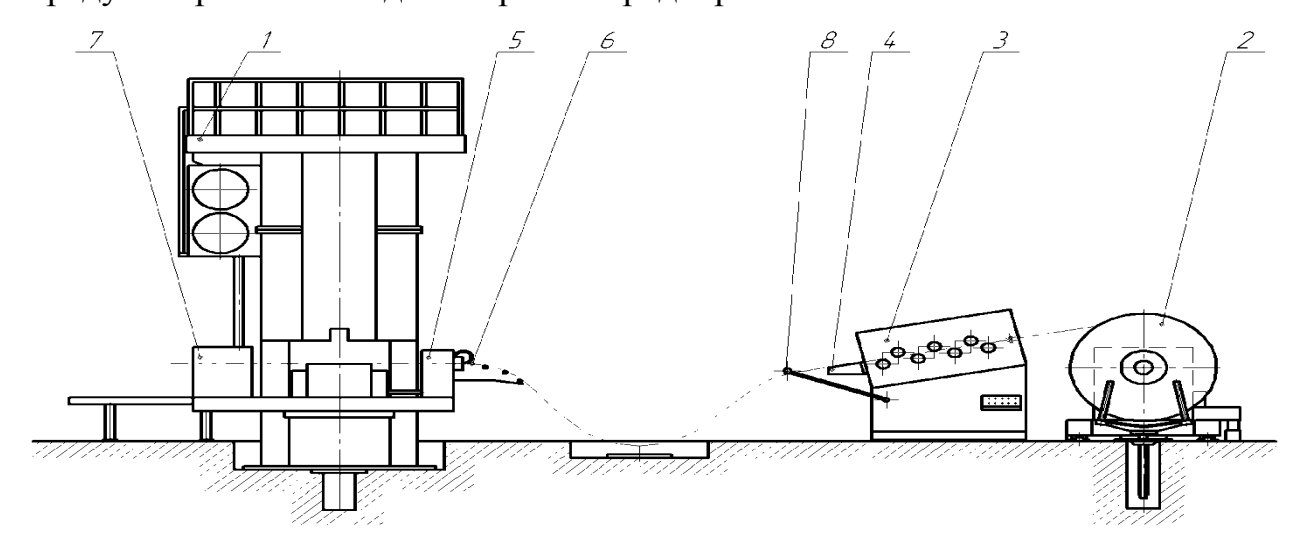


Рисунок 3.2 - Компоновочная схема комплекса

Привод от электродвигателя постоянного тока с плавной регулировкой числа ходов и замедленным (наладочным) ходом через редуктор и кривошипно-шатунный механизм, расположенные в траверсе.

Автомат снабжен системой контроля наличия заготовок на позициях устройствами, обеспечивающими безопасность при работе, системой жидкой смазки, централизованной системой управления и сигнализации, переносным пультом управления.

4 Создание конструкции штамповой оснастки

4.1 Структура, конструкция и работа штамповой оснастки

Во время производства штампа, за исключением технологичности детали, нужно обеспечить техничность сборки, кроме этого так же возможность заточки, ремонт рабочих узлов в процессе использования.

На рисунке 4.1 приведена конструкция штампа для 1-й вытяжки. Штамп смонтирован в блоке с двумя направляющими колонками, так как конструкция данного штампа сравнительно проста. Втулки направляющие (позиция 20) расположены снизу, а колонки (позиция 29) вверху. Рабочие части штампа — пуансон (позиция 7) крепится держателем (позиция 6) к нижней плите штампа (позиция 1), матрица (позиция4) крепится двумя винтами к верхней плите (позиция2).

Для данного штампа необходимы предварительно вырубленные овальные заготовки. Установка заготовок производится с помощью средств автоматизации — грейферных линеек. Вытяжка производится с прижимом (позиция 8) к выталкивателю матрицы (позиция 5.) По окончании операции деталь выталкивается на поверхность штампа выталкивателем за счет жесткого толкателя (позиция 22).

Транспортировка штампа осуществляется грузовыми винтами, расположенными на верхней и нижней плитах.

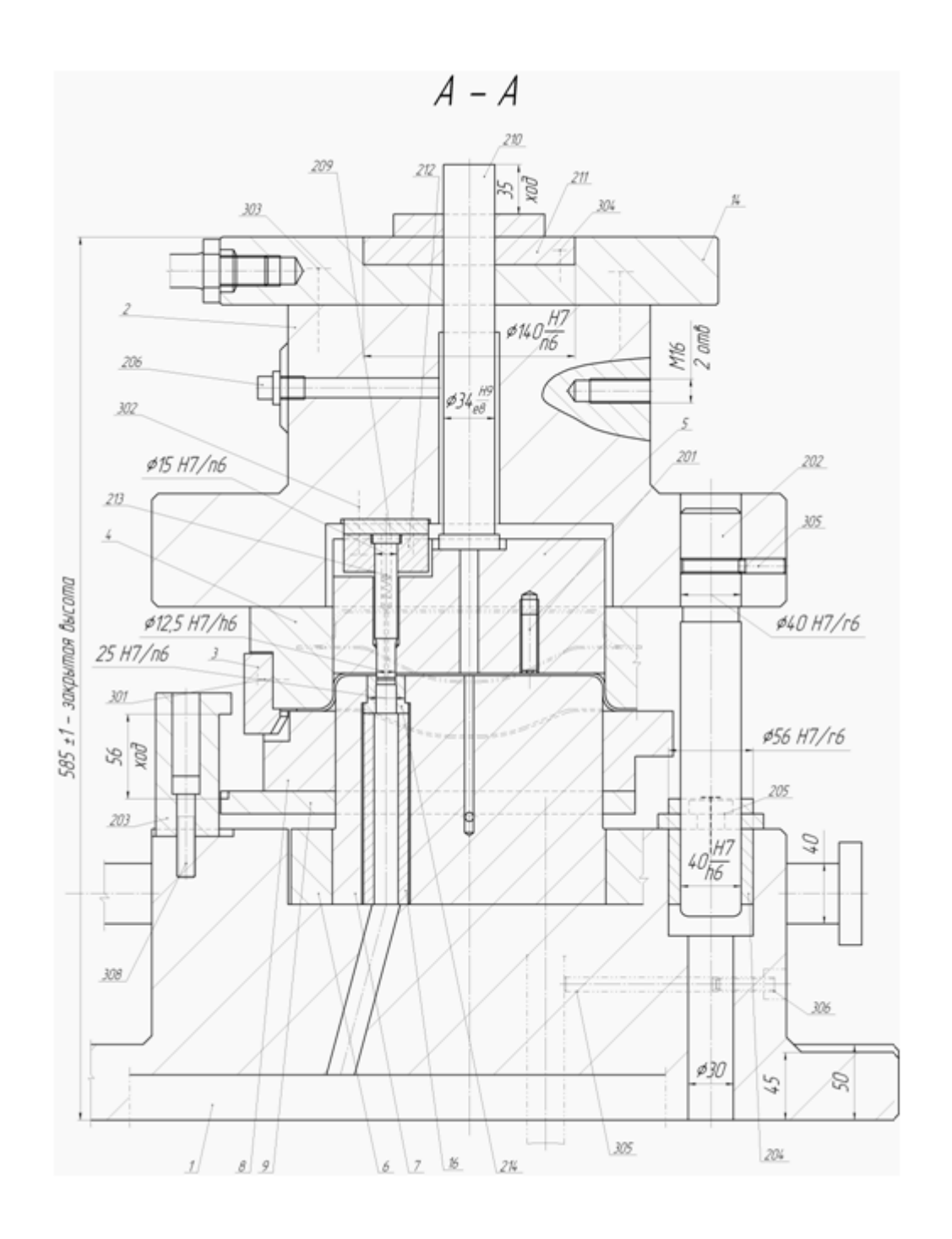


Рисунок 4.1 - Штамп для вытяжки

4.2 Использованные материалы, подобранные для изготовления деталей вытяжного штампа

Таблица 4.1 – Использованные материалы, подобранный для изготовления деталей вытяжного штампа

Деталь штампа	П о з.	Материал	Рекомендуем ая твердость	Термическая обработка
Плита низшая	1	Сталь 35Л		Отжиг
Плита высшая	2	Сталь 35Л		Отжиг
Ловитель	3	Сталь 19 ХГН	5963 HRC	
Матрица	4	Сталь 5ХГНМ	H 0,150,3	
Выталкиватель	5	Сталь У10А	5559 HRC	
Держатель	6	Ст 45	241285 HB	
Пуансон	7	Сталь 5ХГНМ	H 0,150,3	
Прижим	8	Сталь12М1	Н 0,150,3	
Планка	9	Ст 45	3035 HRC	
Ловители	13,1 4,15	Сталь 19 ХГН	5963 HRC	
Пуансон пробивной	15	У10А	5963 HRC	
Втулка	16		4651 HRC	
Матрица	4	5ХГНМ	5153	Азотировани е до получения указанной твердости на глубину H=0,91,2 м

Продолжение таблицы 4.1

Продолжение таолиц	цы 4 .1			
Деталь штампа	П о з.	Материал	Рекомендуемая твердость	Термическая обработка
Прижим	8	Ст12М1	4953	Азотирование до получения указанной твердости на глубину H = 0,91,2 м
Скоба ограничительная	3	19ХГН	3237 HRC	
Втулка направляющая	19	20X	5860 HRC	
Ниппели	22	40XBH		
Толкатель	21	Ст 45	4245 HRC	
Отлипатель	25	Сталь 45	3540 HRC	
Матрица пробивная	26	У10А	5761 HRC	
Державка	27	Ст 45	3745 HRC	
Колонка	29	Сталь 20	5860 HRC	

4.3 Определение количества и местоположения упругих компонентов штампа для 1–й вытяжки

Пружины в штампе выполняют роль извлечение заготовки из пресса Освобождение с пуансона происходит при помощи прижима который приводится в движение за счет жесткого выталкивателя, поэтому расчет в данном случае не производится. Но кроме вытяжки на этой операции выполняется пробивка технологических отверстий. Пробивные пуансоны снабжены отлипателями, которые приводятся в движение за счет внутренних пружин. Произведем расчет этих пружин.

Нужное усилиекоторое создается прижимами:

$$P_{\text{пруж}} = K_{\text{выталк}} \cdot P_{\text{пробивки}}$$
 ,

где $K_{\text{выталк}} = 0.02...0.06 - коэффициент;$

 $P_{\text{пробивки}} = 0.056 \text{ MH} - \text{усилие пробивки}.$

Требуемое напряжение, формируемое пружинами:

$$P_{\text{пруж}} = 0.03 \cdot 0.056 \text{ KH} = 0.0017 \text{ MH}.$$

4.4 Установление центра давления штампа

Для верной сбалансированной деятельности штампа нужно вытягиваемый контур разместить на матрице так, чтобы равнодействующая всех сил совпадала с осью оборудования. В противном случае в штампе возникают непредвиденные изменения (деформации) в следствии чего ломается штамп.

Альтернативный метод нахождения середины давления штампа базируется на равенстве момента равнодействующей некоторых сил сумме факторов этих сил сравнительно любой оси (рисунок 4.2).

$$x_c = \frac{\prod_{i=1}^n P_i x_i}{\prod_{i=1}^n P_i}$$

$$y_c = \frac{\prod_{i=1}^n P_i y_i}{\prod_{i=1}^n P_i}$$

где P_i - усилия на соответствующей позиции;

 x_i - абсциссы центров тяжести контуров;

 y_i - ординаты центров тяжести контуров;

$$\Sigma M_{_{_{_{\boldsymbol{y}}}}} = P_{_{_{_{1}}}}^{_{_{1}}}x_{_{_{1}}} + P_{_{_{1}}}^{_{_{2}}}x_{_{_{2}}} + P_{_{1}}^{_{3}}x_{_{_{3}}} + P_{_{1}}^{_{4}}x_{_{_{4}}} + P_{_{1}}^{_{5}}x_{_{5}} + P_{_{1}}^{_{6}}x_{_{6}} + P_{_{1}}^{_{7}}x_{_{7}}$$

где $P_1^1 x_1$, $P_1^2 x_2$, $P_1^3 x_3$, $P_1^4 x_4$, $P_1^5 x_5$... - усилия на соответствующей позиции; x_1 , x_2 , x_3 ... - расстояние от линии действия силы до оси ОУ.

$$x_i = \frac{0,444 \times 200 + 0,252 \times 600 + 0,253 \times 1000 + 0,158 \times 1400 + 0}{0,444 + 0,252 + 0,253 + 0,158 + 0}$$

$$\frac{0,0957 \times 1800 + 0,067 \times 2200 + 0,272 \times 2600}{0,0957 + 0,067 + 0,272} = \frac{1741,06}{1,54} = 1130 \text{ mm}$$

Центр давления штампа

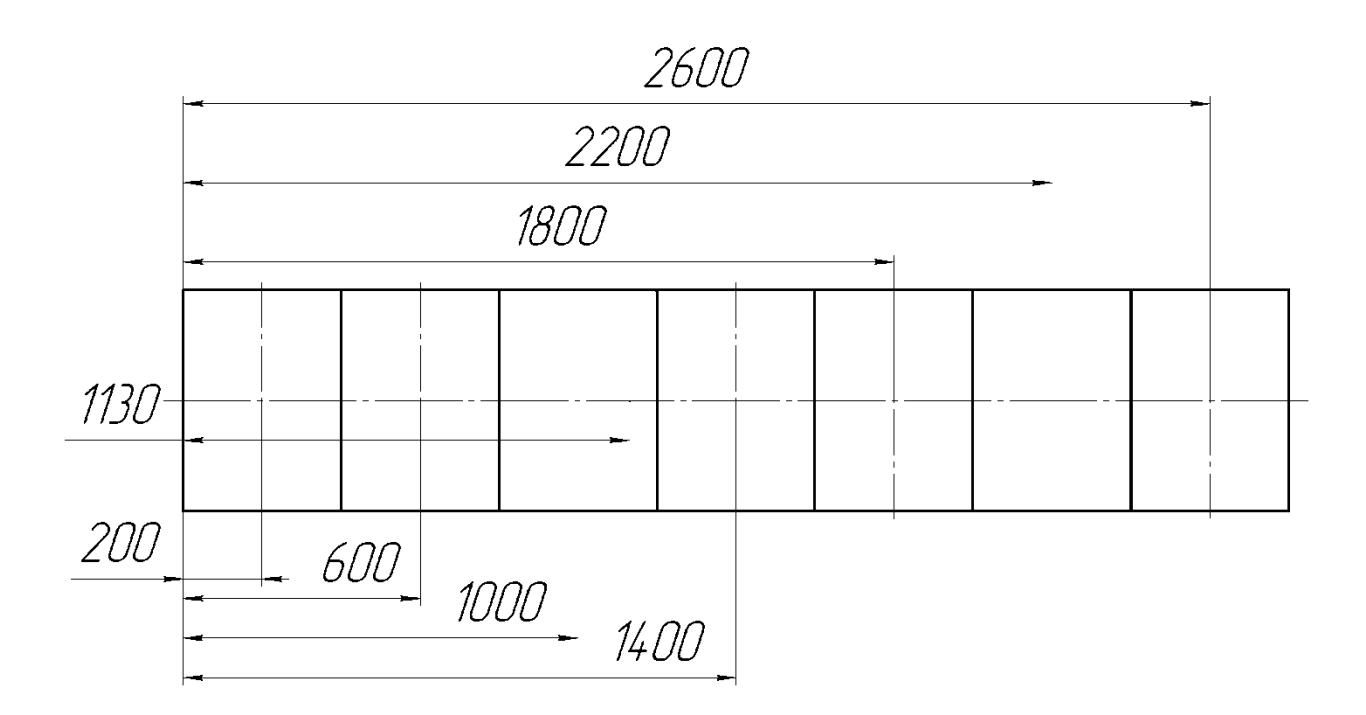


Рисунок 4.2 - Альтернативный метод нахождения середины

5. Безопасность и экологичность технического объекта

5.1Технологическая оценка объекта

Таблица 5.1 - Технологический документ проекта

Технологически	Технологическая	Наименование	Оборудование,	Материалы
й процесс ¹	операция, вид	должности	устройство,	, вещества ⁵
	выполняемых	работника,	приспособлени	
	работ ²	выполняющего	e ⁴	
		технологически		
		й процесс,		
		операцию ³		
1	2	3	4	5
Изготовление	Многопозиционна	Штамповщик-	пресс-автомат	Сталь 08Ю
детали	я штамповка за	оператор	Барнаул-400	ОСВ-2Б
«Кронштейн	девять операций		(AA6136)	
педали				
сцепления»				

5.2 Распознование производственно-технологических и рабочих профессиональных рисков

Таблица 5.2 – Распознавание профессиональных рисков

Производственно-научно-	Опасный и /или	Ресурс небезопасного и /
техническаяи/или	вредоносный	или вредоносного
эксплуатационно-научно-	промышленный	производственного
техническая операция, тип	ϕ актор ²	условия ³
исполняемых работ ⁽¹⁾		-
1	2	3
Работа пресс-автомата	Физический усиленная	Силовое (прессовое)
Барнаул-400	степень вибрации	специальное оборудование.
		Штамповочные процедуры
Действие линии	Физический-усиленная	Действие пресса. Действие
автоматизации,	степень шума	штампов. Штамповочные
Выполнение штамповочных		процедуры.
операций		
Загрузочные,	Психофизиологические	Высокая пыльность и
автотранспортные,	влияния	загрязненность атмосферы
выгрузочные работы,		рабочих зон, усиленный
реализация штамповочных		уровень шума и вибраций,
операций		качество освещения
Передвижение динамических	Химическо-	Промазывание подвижных
частей оснащения и	токсическое влияния	элементов оборудования,
штамповой оснастки		штамповой оснастки и
		болванок

5.3 Способы и технические средства уменьшения профессиональных рисков

Таблица 5.3 - Организационно промышленные способы и промышленные ресурсы уменьшения негативного влияния небезопасных и вредоносных производственных условий

Опасный и / или вредный	Организационные методы и	Средства
производственный фактор ¹	технические средства	индивидуальной
	защиты, снижения,	защиты работника ³
	устранения опасного и / или	
	вредного производственного	
	фактора ²	
1	2	3
Повышенный уровень	Регламентированный режим	-
вибрации	работы, изменение в	
	конструкции фундамента,	
	прогрессивное	
	оборудование,	
	виброизоляция	
Повышенный уровень шума	Смазка трущихся частей	Ушные вкладыши
	оборудования и штампа,	(беруши), наушники
	средства индивидуальной	
	защиты, использования	
	прогрессивного	
	оборудования, герметизация	
	источника шума	

Продолжение таблицы 5.3

0	0	C
Опасный и / или вредный производственный фактор ¹	Организационные методы и технические средства защиты, снижения, устранения опасного и / или вредного производственного фактора ²	Средства индивидуальной защиты работника ³
психофизиологическое воздействие	Инструктаж по техники безопасности, автоматизация и механизация, изоляция токоведущих частей, и расположение их на недоступной высоте, Ограждение штамповочного пространства пресса фотоэлементами, останавливающими пресс в случае пересечения какимлибо предметом светового луча, встроенная предохранительная муфта отключает автоматическую линию в случае заклинивании грейферной подач. Системы обеспечения параметров микроклимата и состава воздуха: отопление, вентиляция, кондиционирование. Контроль параметров микроклимата. Светильники, источники света. Расчет освещения.	Спецкостюмы, состоящие из хлопчатобумажных брюк и куртки, ботинки на утолщенной подошве, защитные рукавицы. Применение средств защиты органов дыхания и органов зрения.
Токсическое воздействие	Контроль концентрации токсических веществ. По окончанию рабочей смены снять спецодежду, умыться, вымыть руки с мылом или принять душ.	Респираторы, маски

5.4 Предоставление пожарной безопасности технологического объекта

Таблица 5.4 – Распознование классов и небезопасных условий пожара

Место (участок), подрасделение	Специальное оборудование	Класс пожара	Небезопасные условия пожара	Сопутствующие проявления условий пожара
1	2	3	4	5
Автоматизированная	Пресс-автомат	В,Е	Огонь и искры;	Вынесение(перем
направленная линия	Барнаул-400		высокая	ыкание) высокого
пресса			температура	электрического
			окружающей	напряжения на
			среды, высокая	токопроводящие
			концентрация	части научно-
			ядовитых	технических
			веществ горения	направлений,
			и теплового	оснащение,
			распада,	аппаратов,
			пониженная	изделий и другого
			концентрация	имущества
			кислорода,	
			понижение	
			видимости в	
			дыму (в	
			задымленных	
			зонах)	

5.5 Промышленные средства предоставления пожарной безопасности

Таблица 5.5 – Промышленные ресурсы обеспечения пожарной безопасности

Основные	Подвижные	Неподвижные	Ресурсы	Пожарное	Ресурсы личной	Противопожарный	Пожарные
ресурсы	ресурсы	конструкции	пожарной	специальное	защиты и	механизм	подачи
пожаротуш	пожаротуше	системы	автоматики	оборудование	спасения людей	(механический и	сигналов, связь
ения	кин	пожаротушения			присутствующих	немеханизированный)	и уведомление
					при пожаре		
1	2	3	4	5	6	7	8
Огнетушит	Пожарные	Водяные	Дымовые	Пожарные	Противогазы	Пожарные багры	Оповещатели о
ели	машины	конструкции	детекторы	шланги			пожаре
		систем					(голосовые,
		пожаротушения					речевые)
Песок	Пожарные	Газовые	Тепловы	Противопожа	Носилки	Пожарные топоры	Световые
	мотопомпы	конструкции	детекторы	рный			указатели
		систем		специальный			"ВЫХОД"
		пожаротушения		инвентарь			
Кошма	Адаптирова	Порошковые	Приемно	Колонка	Защитные	Лопаты штыковые	Ручные
	нные	конструкции	контрольн	пожарная	костюмы		пожарные
	специальные	систем	ые				извещатели
	средства	пожаротушения	оборудован				
	(тягачи,		ие				
	прицепы)						

5.6 Объединительные (объединительные-технические) события по обеспечению пожарной безопасности

Таблица 5.6 – Объединительные (объединительные-технические) события по обеспечению пожарной безопасности

Название научно- технологического процесса,	Название типов реализуемых	Предъявляемые условий по обеспечению пожарной
оснащение	организационных	безопасности, реализуемые
технологического объекта	(объединительных-	результаты
	технических) событий	
1	2	3
Листовая штамповка	Подготовка персонала	Высококвалифицированный
деталей	требования ПБ;	штат предоставление защиты
	выполнение техники	помещений системами
	безопасности;	обнаружения пожара;
	выполнение очередности	уведомление и эвакуации;
	метода научно-	наличие систем
	технического процесса;	пожаротушения
	присутствие средств	
	пожаротушения;	
	актуальное наведение	
	порядка промасленной	
	ветоши с рабочего	
	участка; ограничение	
	использования	
	взрывоопасных	
	материалов и	
	компонентов; хранение	
	взрывоопасных	
	материалов и	
	компонентов в	
	соответствии с	
	требованиями ПБ	

5.7 Распознование экологических условий технологического объекта Таблица 5.7 – Распознование экологических условий технического объекта

Название	Структурные	Влияние	Влияние	Влияние
технологического	элементы	технологичес	технологическо	технологичес
предмета,	технологического	кого объекта	го объекта на	кого объекта
технологического	объекта,	на атмосферу	гидросферу	на литосферу
процесса	технологического	(вредоносные	, 4 - 1 - 1 5	(почву,
p = ¬	процесса	И		растительный
	(производственног	небезопасные		покров, недра
	о сооружения	выбросы в		земли)
	либо сооружения	окружающую		(формирован
	по	среду)		иеотходов,
	функциональному	1 / 0 /		выемка
	назначению,			плодородного
	научно-			слоя почвы,
	технические			отчуждение
	операции,			земель,
	специальное			нарушение и
	оборудование),			загрязнение
	энергетическая			растительног
	установка			о покрова и
	транспортное			т.д.)
	средство и т.п.			
1	2	3	4	5
Многопозиционно	Пресс-автомат	Активное	Переработка	-
е штампование	Барнаул-400	акцентирован	(утилизация)	
		ие	промасленной	
		вредоносных	ветоши,	
		испарений,	применение	
		газов	смазочных	
		проработанно	материалов,	
		й смазки,	при смене	
		масла и	масла в	
		скопление	технологически	
		пыли	х аппаратах и	
			ряде подобных	
			ситуаций	

5.8 Созданные объединенные-технические события по уменьшению отрицательного антропогенного влияния технического объекта на окружающую среду

Таблица 5.8 – Созданные объединенные-технические события по уменьшению отрицательного антропогенного влияния технического объекта на окружающую среду

Название		Листовая штамповка
технологического	1	
объекта		
Событие по		Применение вытяжной вентиляции с системой очищения воздуха
уменьшению		
негативного	2	
антропогенного		
влияния на		
атмосферу		
События по		Усиленный контроль за процессом утилизации применяемых
уменьшению		технологических материалов, сбор, сдача, расположение отходов
негативного	3	производства по договорам, учреждениям имеющим лицензии на
антропогенного		работу с отходами
влияния на		
гидросферу		
События по		Усиленный контроль за процессом утилизации применяемых
уменьшению		технологических материалов, сбор, сдача, расположение отходов
негативного	4	производства по договорам, учреждениям имеющим лицензии на
антропогенного		работу с отходами
влияния на		
литосферу		

В разделе "Безопасность и экологичность технического объекта" произведена оценка технологического производства детали «Кронштейн педали сцепления », перечислены технологические действия, должности сотрудников, производственное и техническое специальное оборудование, используемые сырье (таблица 5.1).

Проделано распознавание профессиональных рисков по используемому технологическому процессу листовой штамповки детали «Кронштейн педали сцепления» согласно типам изготавливаемых работ. В качестве небезопасных и вредоносных производственных условий идентифицировано: усиленная вибрации производственный степень И шума, электротравматизм, токсическое влияние (таблица 5.2). Изобретены объединетельно-технические промышленные события, содержащие устройства уменьшение профессиональных рисков, а точнее инструктаж по технике безопасности, использование средств автоматизации, промазка трущихся элементов оснащения и штамповой оснастки, модернизирование в конструкции фундамента здания, виброизоляция, контроль. Выбраны ресурсы личной защиты для персонала (таблица 5.3)

Вычислены события по обеспечению пожарной безопасности производственного помещения. Проведено распознование классов пожара и небезопасныхусловий пожара и вычисление средств и мер по предоставлению пожарной безопасности (таблица 5.5). Разработаны события по обеспечению пожарной безопасности в промышленном здании (таблица 5.6).

Идентифицированы научно-технические условия (таблица 5.7) и разработаны события по предоставлению экологической безопасности на производстве (таблица 5.8).

6 Экономическая часть

6.1 Оценка вариантов

В этой части дипломного проекта следует осуществить сопоставительные исследования 2-ух альтернатив производства детали 2110-1602068 «Кронштейн педали сцепления».

Основной вид — классическая штамповка на 10-и единицах оснащения с переходной транспортировкой. Первое действие—вырубка — выполняется на прессе Раскин с напряжением 1,75 МН. Дальнейшие девять действий: первая вытяжка, вторая вытяжка, правка, пробивка, отбортовка, разбортовка, осадка, обрезка и пробивка, клиновая пробивка прессах К 2330 напрежением 1,0 МН. Тип производства — серийный. Условия труда — тяжелые (ручной вид труд).

Расчетный вид — штампование в одной единице оснащения, с применением многопозиционного пресса Барнаул с напряжением 4,0 МН.. Тип производства — серийный. Условия труда — нормальные.

6.2 Вычисление себестоимости штамповой оснастки Таблица 6.1 - Калькуляция изготовления вытяжного штампа

No	Название	Обозначени	Сумма,	Примечание
		e	руб.	
1	Материальные расходы	M	136500	
2				
	Транспортно-заготовителные затраты	T3P	2	0,22% ot M
3	Основная зарплата сотрудноков	3 _{ПЛ} ОСН.	79750	Ст=145руб.
				$T_{H}/_{H} = 550_{H}/_{H}$
4	Единый соц.налог	Сс	24722	31% от Зпл осн.
5	Расходы на содержание оснащения	PCO	61304	76,87% от $3_{\Pi J}^{\text{ОСН}}$
6	Цеховые расходы	Рцех	66982	83,99% от $3_{\Pi JI}^{OCH.}$
	Итого цеховая себестоимость	Сцех	371988	

⁻ калькуляции остальных штампов рассчитываются аналогично.

6.3 Вычисление себестоимости производства и изготовления продукции Таблица 6.2 - Общие исходные данные

№	Показатель	Обознач	Значение
		ение	
1.	Годичный проект выпуска, шт.	N_{Γ}	247000
2.	Эффективный фонд трудового периода работы,	$\Phi_{\mathfrak{d}.\mathfrak{p}.}$	1142
	%ot $\Phi_{\scriptscriptstyle 9}$	Φ_{Θ}	3809
3.	Коэффициент выполнения норм	Квн	1,1
4.	Коэффициент многостаночного обслуживания	K_{MH}	1,0
5.	Коэффициент потерь времени на отпуск	Ко	11,8
	работников, %		
6.	Коэффициент монтажа:	K_{MOHT}	
	- в себестоимости		1,1
	- в капитальных вложениях		0,1
7.	Цена материала, руб./кг	Цм	30
8.	Цена отходов, руб./кг	Цотх	1,143
9.	Коэффициент транспортно- заготовитель-	К _{ТЗ}	1,014
	ных операций		
10.	Коэффициенты доплат по заработной плате		
A)	До часового фонда зарплаты	Кдоп	1,08
Б)	За профессиональное мастерство	Кпф	1,15
B)	За условия труда	Ку	1,2
Γ)	За вечерние и ночные часы	K _H	1,1
Д)	Премиальные	κ_{np}	1,1
E)	На социальное страхование	Кс	1,31

Продолжение таблицы 6.2

	родолжение таолицы 6.2					
$N_{\underline{0}}$	Показатель	Обознач	Значение			
		ение				
Ж)	Итого общий коэффициент доплат	$\mathbf{K}_{3\Pi \Pi}$		2,36		
	$\kappa_{3\Pi\Pi} = \kappa_{\Omega O \Pi} \cdot \kappa_{\Pi \Phi} \cdot \kappa_{V} \cdot \kappa_{H} \cdot \kappa_{\Pi P} \cdot \kappa_{C}$					
11.	Коэффициент загрузки оборудования по	K_{M}		0,8		
	мощности					
12.	Коэффициент загрузки оборудования по	КВ		0,7		
	времени					
12	•		1.00			
13.	Коэффициент потерь в сети	K_{Π}	1,03			
14.	Коэффициент одновременной работы	Код	0,8			
	электродвигателей					
15.	Выручка от реализации, % от Ц:					
	- изношенного оборудования	B_{p}		5		
	- изношенного штампа	$B_{p.и.}$		15		
16.	Норма амортизации, %	На	10			
17.	Коэффициент цеховой	Кцех	1,5			
18.	Часовая тарифная ставка, руб./час.	Ст	66,71 79,89 14		145	
19.	Цена электроэнергии, руб./кВт	Щэ	3,8			
20.	Цена площади, руб./м ²	Цпл	4500			
21.	Норматив экономической эффективности	E _H	0,33			

Таблица 6.3 - Эксплуатационные данные оснащения

№	Название	Усилие,	Тшт, мин.	Тмаш,	Му, кВт	Площадь,	Цена, руб.
	оснащения	МН		мин.		м ²	
1.	Раскин	1,75	0,03	0,016	30	5,24	698500
2.	К 2330	1,0	0,3	0,066	10	12,04	250000
3.	Барнаул	4,0	0,125	0,067	75	25,98	752000

Таблица 6.4 - Исходные данные об оснастке

№	Наименование штампа	Стойкость штампа	Стоимость
		Тишт., ударов.	штампа Ц _{шт} ,
			руб.
	Основной		
1.	Штамп для вырубки	600000	379804
2.	Штамп для 1-ой вытяжки и пробивки	1400000	385622
3.	Штамп для 2-ой вытяжки	1400000	361301
4.	Штамп для правки	1200000	326025
5.	Штамп для пробивки	600000	392886
6.	Штамп для отбортовки	1200000	366980
7.	Штамп для разбортовки	1200000	384134
8.	Штамп для осадки	1200000	363803
9.	Штамп для обрезки и пробивки	800000	443189
10.	Штамп для клиновой пробивки	400000	447528
	Расчетный		
1.	Штамп для вырубки	1600000	306120
2.	Штамп для 1-ой вытяжки и пробивки	1600000	371988
3.	Штамп для 2-ой вытяжки	1600000	400530
4.	Штамп для правки	1600000	352000
5.	Штамп для пробивки	1600000	320000
6.	Штамп для отбортовки	1600000	307000
7.	Штамп для обрезки	1600000	360251
8.	Штамп для пробивки	1600000	303613
9.	Штамп для разбортовки	1500000	319069
10.	Штамп для осадки	1500000	305670
11.	Штамп для клиновой пробивки	1500000	369103

Вычислительные сведения

1. Эффективный фонд периода работы оснащения:

$$\Phi_{9} = (Д_p \cdot T_{cM} - Д_{пp} \cdot T_{cok}) \cdot C(1-B),$$

 Γ де: Д $_{p}$ – рабочие дни;

 $T_{\text{см}}$ — длительность смены;

Т_{сок} – сокращение в праздничный день;

С – число смен;

В - коэффициент, рассматривающий время на восстановление оснащения.

$$\Phi_9 = (247.8 - 5.1) \cdot 2(1-0.05) = 38094.$$

2. Эффективный фонд времени рабочего:

$$\Phi_{3,p} = 30\% \cdot \Phi_{3} = 1142 \text{ y.}$$

6.4 Вычисление необходимого количества оснащения, коэффициента его загрузки, число рабочих-операторов и необходимое количество штамповой оснастки

Таблица 6.5 - Вычисления необходимого количества оснащения, коэффициента его загрузки, число рабочих-операторов и необходимое количество штамповой оснастки

№	Характеристики	Вычислительные формулы и расчет	Знач	ение
			показ	ателя
			Сущес	Расчет
			TB.	ный
1.	Количество	$n_{o6} = t_{\text{iii}} \cdot N_{\text{r}} / (\Phi_{\scriptscriptstyle 3} \cdot \kappa_{\text{BH}} \cdot 60)$		
	оборудования,	$n_{o61}^{6a3} = 0.03 \cdot 247000 / (3809 \cdot 1.2 \cdot 60) = 0.027$		
	необходимое для	$n_{062}^{6a3} = 0.3 \cdot 247000 / (3809 \cdot 1.2 \cdot 60) = 0.27$	1	1
	производства	∙9оп.		
	годовой программы	$N_{o61}^{np} = 0.125 \cdot 247000 / (3809 \cdot 1.2 \cdot 60) =$	9	1
	выпуска, шт.	0,112		

No	оодолжение таблицы Характеристики	0.3 Вычислительные формулы и расчет	Знач	ение
712	Марактеристики	рычислительные формулы и расчет		
			Показ	1
			Сущес	Расчет
			TB.	ный
2.	Коэффициент	$ ext{K}_{ ext{\tiny 3}} = ext{n}_{ ext{\scriptsize o} ext{\scriptsize o}}^{ ext{\tiny Pac} ext{\tiny ч}} / ext{n}_{ ext{\scriptsize o} ext{\scriptsize o}}^{ ext{\tiny Прин.}}$		
	загрузки	$K_{31}^{6a3} = 0.027/1$	0,027	
	оборудования	$K_{32}^{6a3} = 0.27/1$	0,27	
	исполнением данной	$K_{31}^{np} = 0.112/1$		0,112
	операции			
3.	Количество	$P_{O\Pi} = [t_{\text{iii}} \cdot N_r \cdot (1 + \kappa_0 / 100)] / (\Phi_{\exists p} \cdot \kappa_{\text{MH}} \cdot 60)$		
	работников-	$P_{O\Pi 1}^{6a3} = [0.03.247000 \cdot (1+1.8/100)]/$		
	операторов,	(1142·1·60)=0,087≈1·1 оп·2 см.	2	
	требуемых для	$P_{O\Pi 2}^{Ga3} = [0,3 \cdot 247000 \cdot (1 + 11,8/100)]/$		
	изготовление	$(1142 \cdot 1 \cdot 60) = 0.87 \approx 1.9 \text{ on} \cdot 2 \text{ cm.} + 2$	20	
	годовой программы	$P_{O\Pi 1}^{np} = [0.125 \cdot 247000 \cdot (1 + 11.8/100)]/$		
	деталей, чел.	$(1142 \cdot 1 \cdot 60) = 0.36 \approx 2.2 \text{ cm}.$		4
	* согласно производст	венной потребности необходимо 2-е работни	ков-опера	торов –
		5-го разряда, (один на укладке)	_	
4.	Количество штампов	$N_{\text{шT}} = N_{\text{r}} / T_{\text{и.}}^{\text{шT.}}$		
	для выпуска годовой	$N_{\text{int}}^{\text{ fa3}}_{\text{ on. }1,5} = 247000/600000 = 0,411 \approx 1$	1	
	программы, шт.	$N_{\text{int}}^{\text{баз}}$ on.2,3=247000/1400000 =0,176 \approx 1	1	
		$N_{\text{IIIT}}^{ $	1	
		$N_{\text{IIIT}}^{\text{ Ga3}}_{\text{ OII.9}} = 247000/800000 = 0,309$	1	
		$N_{\text{IIIT}}^{\text{ fa3}}_{\text{ ori.}10} = 247000/400000 = 0,620$	1	
		$N_{\text{IIIT}}^{\text{пр}}_{\text{оп.1-8}} = 247000/1600000 = 0,154$		1
		$N_{\text{IIIT}}^{\text{np}}_{\text{on.9-11}} = 247000/1500\ 000 = 0,165$		1

6.5 Вычисление капитальных вложений

Таблица 6.6 – Вычисление капитальных вложений

$N_{\underline{0}}$	Показатели	Расчетные формулы и расчет	Знач	ичение	
			Основной	Расчетны	
				й	
1.	Прямые	$K_{o6} = n_{o6} \cdot \coprod_{o6} \cdot K_3$			
	капиталь-ные	$K_{o61.}^{6a3} = 1.698500 \cdot 0,027 = 18859,5$			
	вложения в	$K_{062.}^{} = 9.250000 \cdot 0.27$	18859,5		
	оборудование,				
	руб.	$K_{o61}^{np} = 1.752000.0,112$	607500		
				84224	
2.		Сопутствующие капитальные вложения	, руб.:		
	Затраты на	$K_{M} = K_{OO.} \cdot K_{MOHT}$			
	доставку и	$K_{M}^{6a3} = 18859, 5 \cdot 0,25$	4714,8		
	монтаж	$K_{M}^{6a3} = 607500 \cdot 0.25$	151875		
	оборудования,	$K_{M}^{np} = 84224 \cdot 0,25$		21056	
	руб.				

Продолжение таблицы 6.6

$N_{\underline{0}}$	Показатели	Расчетные формулы и расчет	Значе	ение
			Основной	Расчетны
				й
I	ı		1	
	Затраты на спец.	$K_{\mu} = \coprod_{uur} \cdot n_{uur}$		2 = 12 = 11
	оснастку, руб.	$\begin{array}{l} K_{u}^{6a3} = 379804 \cdot 1 \\ K_{u}^{6a3} = 385622 \cdot 1 \\ K_{u}^{6a3} = 361301 \cdot 1 \\ K_{u}^{6a3} = 326025 \cdot 1 \\ K_{u}^{6a3} = 326025 \cdot 1 \\ K_{u}^{6a3} = 392886 \cdot 1 \\ K_{u}^{6a3} = 366980 \cdot 1 \\ K_{u}^{6a3} = 384134 \cdot 1 \\ K_{u}^{6a3} = 363803 \cdot 1 \\ K_{u}^{6a3} = 443189 \cdot 1 \\ K_{u}^{6a3} = 447528 \cdot 1 \\ K_{u}^{np} = 306120 \cdot 1 \\ K_{u}^{np} = 371988 \cdot 1 \\ K_{u}^{np} = 371988 \cdot 1 \\ K_{u}^{np} = 350000 \cdot 1 \\ K_{u}^{np} = 350200 \cdot 1 \\ K_{u}^{np} = 350200 \cdot 1 \\ K_{u}^{np} = 307000 \cdot 1 \\ K_{u}^{np} = 303613 \cdot 1 \\ K_{u}^{np} = 303670 \cdot 1 \\ K_{u}^{np} = 305670 \cdot 1 \\ K_{u}^{np} = 305670 \cdot 1 \\ K_{u}^{np} = 369103 \cdot 1 \end{array}$	3 851 272	3 743544
	Затраты на	$K_{nn} = n_{oo} \cdot S_{v} \cdot \coprod_{nn} \cdot K_{s}$		
	производственну	$K_{\text{III}}^{\text{6a3}} = 1.5,24.4500 \cdot 0,027$	636,7	
	ю площадь	$K_{\text{пл}}^{\text{баз}} = 9.12,04.4500 \cdot 0,27$	131657,4	
	10 1110 240/2	$K_{\text{пл}}^{\text{пр}} = 1.25,98.4500.0,112$		13093,9
	Итого	$K_{\text{COII}} = K_{\text{M}} + K_{\text{M}} + K_{\text{III}}$	4140155,9	
	111010	$K_{\text{con}}^{\text{faa}} = 156589,8 + 3851272 +$	1110100,7	
		132294,1		
		$K_{\text{con}}^{\text{np}} = 21056 + 3743544 + 13093,9$		3777694
3.	Общие	$K_{\text{соп}} = K_{\text{об.}} + K_{\text{соп}}$	4766515,4	
	капитальные	$K_{oбщ}^{\ \ \ \ \ \ \ \ \ \ \ \ \ \ \ \ \ \ \ $		
	вложения, руб.	$K_{\text{общ}}^{\text{пр}} = 84224 + 3777694$		3861918
4.	Удельные	$K_{yд} = K_{oбщ} / N_{\Gamma}$		
	капитальные	$K_{y_{\text{M}}}^{ \ \text{fa3}} = 4766515,\! 4/\ 247000$	19,29	
	вложения, руб.	$K_{yx}^{np} = 3861918/247000$		15,63

6.6 Вычисление себестоимости сравниваемых вариантов

Таблица 6.7 – Вычисление себестоимости сравниваемых вариантов

$N_{\underline{0}}$	Показатель	Вычисление и формула	Значение по	жазателя
			Основный	Расчет.
1.	Основные	$\mathbf{M} = (\mathbf{M}_3 \cdot \mathbf{\Pi}_{M} \cdot \mathbf{K}_{T3}) - (\mathbf{M}_{OTX} \cdot \mathbf{\Pi}_{OTX})$		
	использованные	$M^{6a3} = (0,55\cdot30\cdot1,014) - (0,12\cdot1,143)$	16,6	
	материалы за	$M^{np} = (0,42 \cdot 30 \cdot 1,014) - (0,073 \cdot 1,143)$		12,7
	исключением			
	отходов, руб.			
2.	Заработная плата	$3_{\Pi\Pi} = P \cdot C_{T} \cdot \Phi_{\mathfrak{I}, p} \cdot \kappa_{3\Pi\Pi} \cdot \kappa_{3} / N_{\Gamma}$		
	работников-	$3_{\text{пл}}^{\text{баз}} = 2.66,71.1142.2,36.0,027/247000$	0,2	
	операторов, руб.	$3_{\text{пл}}^{\text{баз}} = 20.66,71.1142.2,36.0,27/247000$		0,39
		$3_{\text{пл}}^{\text{пр}} = 4.79,89.1142.2,36.0,112/247000$	3,9	
3.	Затраты на	$P_{A} = [(\coprod_{o6} \cdot (1 - B_{p})) \cdot H_{a} \cdot t_{uur} \cdot 1,3] /$		
	амортизацию и	$(\Phi_{\scriptscriptstyle 3}\cdot\kappa_{\scriptscriptstyle \mathrm{BH}}\cdot60\cdot100)$		
	текущий	$P_{A1}^{6a3} = 1 \cdot [(698500 \cdot (1 - 0.05))]$		
	восстановление	·10·0,03·1,3] / (3809·1,1·60·100)	0,0094	
	оснащения, руб.	$P_{A2}^{6a3} = 9 \cdot [(250000 \cdot (1 - 0.05)) \cdot 10 \cdot 0.3 \cdot 1.3]$		
		/ (3809-1,1-60-100)	0,3	
		$P_{A1}^{np} = [(752000 \cdot (1 - 0.05)) \cdot 10 \cdot 0.125 \cdot 1.3]$		
		/ (3809·1,1·60·100)		0,042

Продолжение таблицы 6.7

No	Показатель	Вычисление и формула	Значение по	казателя
			Основный	Расчет.
			' 	<u> </u>
4.	Затраты на	$P_{\mathfrak{I}} = (M_{\mathfrak{I}} \cdot t_{\text{маш}} \cdot \kappa_{\mathfrak{O} \mathfrak{I}} \cdot \kappa_{\mathfrak{M}} \cdot \kappa_{\mathfrak{B}} \cdot \kappa_{\mathfrak{I}} \cdot U_{\mathfrak{I}}) / K \Pi \mathcal{I} \cdot 60)$		
	Электро-энергию,	$\kappa = 0.9 \cdot 0.8 \cdot 0.7 \cdot 1.03 = 0.519$		
	руб.	$P_{91}^{6a3} = (30.0,016.0,519.3,8) / (0,75.60)$	0,02	
		$P_{32}^{6a} = 9 \cdot (10.0,066.0,519.3,8) / (0,75.60)$	0,2	0,17
		$P_{31}^{np} = (75.0,067.0,519.3,8) / (0,75.60)$	0,22	
5.	Затраты на	$P_{\text{II}} = (\coprod_{\text{IIIT}} \cdot [1 - B_{\text{p.u.}}]) / T_{\text{u. IIIT.}}$		
	штамповый	$P_{\text{H}}^{\text{ 6a3}} = (379804 \cdot [1 - 0.15]) / 600000$	0,538	
	инструмент, руб.	$P_{\text{H}}^{\text{ 6a3}} = (385622 \cdot [1 - 0.15]) / 1400000$	0,23	
		$P_{\text{M}}^{\text{ 6a3}} = (361301 \cdot [1 - 0.15]) / 1400000$	0,219	
		$P_{\text{H}}^{\text{ баз}} = (326025 \cdot [1 - 0.15]) / 1200000$	0,23	
		$P_H^{6a3} = (392886 \cdot [1 - 0.15]) / 600000$	0,57	
		$P_{\text{H}}^{\text{6a3}} = (366980 \cdot [1 - 0.15]) / 1200000$	0,26	
		$P_{\text{H}}^{\text{ 6a3}} = (384134 \cdot [1 - 0.15]) / 1200000$	0,27	
		$P_{\text{H}}^{\text{ 6a3}} = (363803 \cdot [1 - 0.15]) / 1200000$	0,26	
		$P_{\text{H}}^{6a3} = (443189 \cdot [1 - 0.15]) / 800000$	0,47	
		$P_{\text{H}}^{6a3} = (447528 \cdot [1 - 0.15]) / 400000$	0,95	
			3,997	
		$P_{H}^{np} = (306120 \cdot [1 - 0.15]) / 1600000$		0,16
		$P_{\text{H}}^{\text{np}} = (371988 \cdot [1 - 0.15]) / 1600000$		0,24
		$P_{\text{H}}^{\text{np}} = (400530 \cdot [1 - 0.15]) / 1600000$		0,2
		$P_{\text{H}}^{\text{np}} = (350000 \cdot [1 - 0.15]) / 1600000$		0,18
		$P_{\text{H}}^{\text{np}} = (350200 \cdot [1 - 0.15]) / 1600000$		0,18
		$P_{\text{H}}^{\text{np}} = (307000 \cdot [1 - 0.15]) / 1600000$		0,16
		$P_{\text{M}}^{\text{np}} = (360251 \cdot [1 - 0.15]) / 1600000$		0,19
		$P_{\text{M}}^{\text{np}} = (303613 \cdot [1 - 0.15]) / 1600000$		0,16
		$P_{\text{M}}^{\text{np}} = (319069 \cdot [1 - 0.15]) / 1500000$		0,18
		$P_{\text{M}}^{\text{np}} = (305670 \cdot [1 - 0.15]) / 1500000$		0,17
		$P_{\text{M}}^{\text{np}} = (369103 \cdot [1 - 0.15]) / 1500000$		0,21
				2,03
				<u> </u>

Продолжение таблицы 6.7

№	Показатель	Вычисление и формула	Значение по	казателя
			Основный	Расчет.
		-		I
6.	Затраты на	$P_{n\pi} = S_{yy} \cdot n_{o6} \cdot \coprod_{n\pi} \cdot \kappa_3 / N_r$		
	содержание и	$P_{nn}^{\ \ 6a3} = 5,24 \cdot 1 \cdot 4500 \cdot 0,027 / 247000$	0,0025	
	использование	$P_{\pi\pi}^{6a3} = 12,04.9.4500.0,27 / 247000$	0,5	
	производственны	$P_{\text{пл}}^{\text{пр}} = 25,98 \cdot 1 \cdot 4500 \cdot 0,112 / 247000$		0,05
	х площадей, руб.			
7.	Затраты на	$3_{\text{нал}} = (n_{\text{oб}} \cdot C_{\text{T}} \cdot \Phi_{\text{Э.р.}} \cdot \kappa_{\text{3пл}} \cdot \kappa_{\text{3}}) / (n_{\text{oбc}} \cdot N_{\text{г}})$		
	заработную плату	$3_{\text{нал}}^{6a3} = (1.79,89.1142.2,36.0,027)$		
	наладчика, руб.	/(4·247000)	0,005	
		$3_{\text{нал}}^{\text{ба3}} = (9.79, 89.1142.2, 36.0, 27)$		
		/(8·247000)	0,23	
	Итого:	$C_{\text{Tex}} = M + 3_{\text{пл}} + P_{\text{A}} + P_{\text{3}} + P_{\text{N}} + P_{\text{пл}} + 3_{\text{нал}}$		
	Технологическая	$C_{\text{Tex}}^{6a3} = 16.6 + 4.1 + 0.3094 + 0.22 +$		
	себестоимость,	3,997 + 0,5025 + 0,235	25,96	
	руб.	$C_{\text{Tex}}^{\text{np}} = 12,7 + 0,39 + 0,042 + 0,17 + 2,33$		
		+ 0,05		15,68
8.	Цеховые расходы,	$P_{uex} = 3_{nn} \cdot \kappa_{uex}$		
	руб.	$P_{\text{uex}}^{6a3} = 4,1\cdot1,72$	7,052	
		$P_{\text{nex}}^{\text{np}} = 0.39 \cdot 1.72$		0,67
	Всего: Цеховая	$C_{\text{uex}} = P_{\text{uex}} + C_{\text{rex}}$		
	себестоимость,	$C_{\text{nex}}^{\ \ \ \ \ \ \ \ \ \ \ \ \ \ \ \ \ \ \ $	30,0	
	руб.	$C_{\text{nex}}^{\text{np}} = 15,68 + 0,67$		16,36

6.7 Структура себестоимости продукта сопоставимых вариантов

Таблица 6.8 – Структура себестоимости продукта сопоставимых вариантов

$N_{\underline{0}}$	Наименование затрат	Сумм	иа, руб.	Дол	я, %
		Основной	Расчетный	Основной	Расчетный
1.	Материалы	16,6	12,7	50	78
2.	Основная зарплата	4,1	0,39	11,8	2,38
3.	Расходы на содержание оборуд.	0,394	0,042	5,52	0,27
4.	Расходы на электроэнергию	0,04	0,17	1,19	1,04
5.	Расходы на производственную площадь	0,5025	0,05	1,52	0,03
6.	Расходы на штамповую оснастку	3,997	2,33	12,1	14,2
7.	Цеховые расходы	7,052	0,67	21,36	4,1
	Цеховая себестоимость	33,0	16,6	100	100

6.8 Вычисление показателей экономической эффективности

проектируемого варианта

Таблица 6.9 – Вычисление показателей экономической эффективности проектируемого варианта

No	Показатель	вычисление и формула	Значение г	показателя
1.	Условно годовая экономия от	$\mathcal{G}_{yr} = (C_{uex}^{6a3} - C_{uex}^{np}) \cdot N_r =$		
	снижения себестоимости, руб.	(33 – 16,36) ·247000	4110	8000
2.	Приведенные затраты, руб.	$3_{\rm np} = C_{\rm uex} + E_{\rm H} \cdot K_{\rm yg}$		
		$3_{\text{np}}^{\text{ 6a3}} = 33 + 0.33 \cdot 19.29$	39,36	
		$3_{\rm np}^{\rm np} = 16,36 + 0,33 \cdot 15,63$		21,52
3.	Срок окупаемости	$T_{o\kappa} = K_{\mu}^{np} / \Im_{yr} =$		
	капвложений, год	3743544 / 4110008 =0,9	≈	1
4.	Годовой экономический	$9_{\Gamma} = (3_{\Pi p}^{6a3} - 3_{\Pi p}^{\Pi p}) \cdot N_{\Gamma} = (39,36)$		
	эффект, руб.	<i>−</i> 21,52) · 247000	4406	5480

Вывод экономической части

В результате использования нового технологического процесса изготовления детали «Кронштейн педали сцепления» автомобиля было выявлено, что себестоимость детали изменилась с 33 руб. до 16,36 руб. на 16,64 руб., т.е. снизилась на 51,6%.

На основе расчета и анализа затрат на изготовление продукции, можно сделать вывод, что снижение себестоимости происходит за счет следующих факторов:

- уменьшение затрат на материалы за счет увеличения КИМ;
- уменьшение трудоемкости
- снижения затрат на основную заработную плату рабочих за счет уменьшения их численности.

При этом технологический эффект (условно годовая экономия) составит 4,11 млн. рублей. Годовой экономический эффект от перевода изготовления детали на пресс-автомат составляет 4,4 млн. руб. Срок окупаемости капитальных вложений на штамповую оснастку – в пределах 1-го года.

Заключение

выпускной квалификационной В данной работе процесс изготовления детали «Кронштейн педали сцепления» автомобиля был переведен в автоматический режим. Был произведен выбор оборудования для проведения штамповочных операций – многопозиционный пресс-автомат, подобраны автоматизации, сконструирована средства штамповая оснастка,рассмотрена безопасность И экологичность проекта И его экономическая эффективность.

Как показали расчеты И исследования автоматизация технологического процесса, имеет ряд преимуществ. Так детали являются более качественными, уменьшается трудоемкость, стойкость штамповой оснастки увеличивается, освобождаются производственные площади, в результате всего значительно уменьшается себестоимость изготовления детали. Исследования по безопасности и экологичности проекта показали, что данный технологический процесс является более предпочтительным, чем базовый используемый в производстве, так как устраняются многие опасные и вредные производственные факторы, условия работы рабочих улучшаются. Таким образом, были достигнуты цели и задачи выпуской квалификационной работы.

Литература

- 1. Зубцов М.Е. Листовая штамповка: Учебник для студентов вузов, обучающихся по специальности «Машины и технология обработки металлов давлением». 3-е изд. перераб. и доп. Л.: Машиностроение. Ленингр. отд-ние, 1980. 432 с., ил.
- 2. Романовский В.П. Справочник по холодной штамповке. 6-е изд. перераб. и доп. Л.: Машиностроение. Ленингр. отд-ние, 1979. 520 с.
- 3. Аверкиев Ю.А., Аверкиев А.Ю. Технология холодной штамповки: Учебник для вузов по специальности «Машины и технология обработки металлов давлением» и «Обработка металлов давлением». М.: Машиностроение, 1989. 304 с.: ил.
- 4. Малов А.Н. Технология холодной штамповки М.: Машиностроение, 1969. 568 стр.
- 5. Лахтин. Конструкционные материалы и термическая обработка сталей и сплавов. М.: Машиностроение, 1984 370 с.
- 6. Скворцов Г.Д. Основы конструирования штампов для холодной листовой штамповки. М.: Машиностроение, 1974 318 с.
- 7. Банкетов А.Н., Бочаров Ю.А. Кузнечно-штамповочное оборудование. М.: Машиностроение, 1982. 576 с.
- 8. Нефедов, А.П. Конструирование и изготовление штампов: из опыта Горьковского автомобильного завода / А.П. Нефедов. Москва: Машиностроение, 1973.- 408 с.
- 9. Владимиров В.М. Изготовление штампов и пресс-форм. М.: Машиностроение, 1981. 431 с.
- 10. Якуничев Е.В. Технология холодной штамповки. Сборник задач. Тольятти: ТолПИ, 1991.
- Скрипачев А.В. Технологичность листовых штампованных деталей.
 Методические указания по технологии листовой штамповки / А.В.
 Скрипачев, И.Н. Матвеенко. Тольятти: ТолПИ, 1992.
- 12. Попов Е.А. Теория листовой штамповки. Л.: Машиностроение, 1973. 430 с.

- 13. Смолин, Е.Л. Основы конструирования штамповой оснастки. Тольятти: ТГУ, 2002. –65 с.
- 14. Горина, Л.Н. Раздел выпускной квалификационной работы «Безопасность и экологичность технического объекта»: уч. методическое пособие / Л.Н. Горина, М.И. Фесина. Тольятти изд-во ТГУ, 2016
- 15. Сторожев, М.В. Теория обработки металлов давлением / М.В. Сторожев, Е.А. Попов. – Москва: Машиностроение, 1977. – 423 с.
- 16. Экономика машиностроительного производства: Учебно-методическое пособие к выполнению курсовой работы / Составил Н.В.Александрова Тольятти: ТГУ, 2007.-19 с.
- 17. Lovell, M. Increasing formability in sheet metal stamping operations using environmentally friendly lubricants / M. Lovell, C.F Higgs, P. Deshmukh, A. Mobley// Journal of Materials Processing Technology. -2006. -№ 177. C. 87-90.
- 18. Improvement of part quality in stamping by controlling blank-holder force and pressure / M.A. Ahmetoglu, T. Altan, G.L. Kinzel // Journal of Materials Processing Technology. 1992. № 33. C. 195-214.
- 19. Giardini, C, Ceretti, E., Conti, C., A study of an application of double sheet hydro forming, ESAFORM 2004, pp 563–566, Trondheim, Norway, 2004.
- 20. Situ, Q., Jain, M., Bruhis, M., A New Approach to Obtain Forming Limits of Sheet Materials, ESAFORM 2006, pp. 299–302, Glasgow, United Kingdom, April 26–28, 2006.
- 21. Takuda, H, Forming Limit Prediction of Sheet Metals by Means of Some Criteria for Ductile Fracture, ESAFORM 2003, pp. 171–174, Salerno, Italy, April 28–30, 2003.

Приложение

	Формат	Зона	Mag.	Обозначение	Наименование	Kan	Приме- чание
Терв. примен	-				Документация		
Mept.	AO			17.БР.СОМДиРП.599.61.00.000СБ		2 - 6	
	F				Сборочные единицы	30,	
			1	17.БР.СОМДиРП.599.61.01.00L	Пресс	1	
			2	17.БР.СОМДиРП.599.61.02.00		1	
Sapata Nº	_		7	47ED COMB DEFOO (403.00	(Рулонница)	1	
Cripa	-		3	17.БР.СОМДиРП.599.61.03.000		1	
			4	17.БР.СОМДиРП.599.61.04.00	устройство О Рольганг(компенсатор)	1	
			5	17.БР.СОМДиРП.599.61.05.00		/	
			6	17.БР.СОМДиРП.599.61.06.00		1	
	-		7	17.БР.СОМДиРП.599.61.07.00		1	
es a les					линеек	1	
מ			8	17.БР.СОМДиРП.599.61.08.00	О Прижимной рычаг	1	
ं वेका			9	17.БР.СОМДиРП.599.61.09.00		1	
Подп. и дата			10	<i>17.БР.СОМДиРП.599.61.10.00</i> С		1	
Ţ	,		2000	17.БР.СОМДиРП.599.61.11.000	Egg Factor was the transfer of the second state of the second stat	1	
μον		-	200	17.БР.СОМДиРП.599.61.12.00U	The state of the s	1	
å Nº ayon	A1			17.БР.СОМДиРП.599.61.13.00U		1	
T.		-		17.5P.COM.JuPN.599.61.14.00L		1	
G. No	-	_		17.БР.СОМДиРП.599.61.15.00С 17.БР.СОМДиРП.599.61.16.00С		1	
IN UHO	-		200	17.БР.СОМДиРП.599.61.17.00U		1	
Взам		\mathbf{H}	3,00	17.БР.СОМДиРП.599.61.18.00U	Company of the Compan	1	
DU	H		_	17.БР.СОМДиРП.599.61.19.00U		1	
u da	F		20	17.БР.СОМДиРП.599.61.20.00	t _a	1	
Пода и дата	Man	Nuci	m	№ докум Подп Дата 17.	БР.СОМДиРП.599.61.С	70.0	000
№ подл.		πραδ.	1	Полашили ФИ	Комплекс Лит Горудования (вид общий) гом	Лист 1 ТГУ, И	1
W.C.	H.K.	онтр В.		поцооо.о.	- (вид общий) грМС Копировал Фарм		-1231 A4

	Формат	Зона	Mas.	Обозни	<i>14ение</i>	Наименовани	Kon.	Приме чание
H)						Документаци	UЯ	
Терв. примен	A1			17.БР.СОМДиРП.5	99.62.13.000.СБ	Сборочный черте)	x 1*	
Nepb	Ц					7		
	Ш			495950449.00		<u>Детали</u>		
		01	1	17.БР.СОМДиРГ			1	
	Ш	01		17.БР.СОМДиРГ			1	
	Ш	01	200	17.БР.СОМДиРГ		Ловитель	1	
	Ш	01	VASSE	17.БР.СОМДиРП		Матрица	1	
<i></i> √2		01		<i>17.БР.СОМДиРП</i>		Выталкиватель	1	1
npaå Nº	Ш	01	6	<i>17.БР.СОМДиРП</i>		Держатель	1	
7		01	7	<i>17.БР.СОМДиРП</i>		Пуансон	1	
		01	0100	17.БР.СОМДиРП		Прижим	1	
		01	9	<i>17.БР.СОМДиРП</i>	1.599.62.13.009	Планка	1	
2. 2.		03	10	<i>17.БР.СОМДиРП</i>	1.599.62.13.010	Ловитель	1	
		03	11	17.БР.СОМДиРГ	1.599.62.13.011	Ловитель	1	
1 160		03	12	<i>17.БР.СОМДиРГ</i>	599.62.13.012.	<i>Повитель</i>	1	
2		03	13	17.БР.СОМДиРГ	1.599.62.13.013	Плита	1	
i dan		04	14	17.БР.СОМДиРГ	1599.62.13.014	Планка	2	
Подп. и дата	П	07	15	17.БР.СОМДиРГ	1599.62.13.015	Пуансон	2	
77		07	16	<i>17.БР.СОМДиРП</i>	1599.62.13.016	Втулка	2	
Ϋ́	П	02	17	17.БР.СОМДиРГ	599.62.13.017	Планка	1	
A Nº GUÓN		01	18	17.БР.СОМДиРП	599.62.13.018	Скоба огранич.	2	
MHB		01	19	17.БР.СОМДиРП	599.62.13.019	Втулка	2	
No.		01	20	17.БР.СОМДиРП	.599.62.13.020	Втулка	4	
CHO.	П			17.БР.СОМДиРГ			1	
Взам. г	П	04	22	17.БР.СОМДиРГ	599.62.13.022	Толкатель	1	
8		2.00	100000	17.БР.СОМДиРГ		Толкатель	4	
מנום	П	00000	24			Центровик	1	
Пода и дата		01	25	17.БР.СОМДиРГ		Отлипатель	1	
Nodi	11	1		MO January Can	17.8	Р.СОМДиРП.59	9.62.13.0	000
393	Pas	Лис праб	1	№ докум. Подп. ГолешкинЯ.И.	Дата	nava 2	Num. Nucm	Листо
Nº nadn	При	IO.	(2)	молин Е.Л.	100.00	памп для	II 1	MM 2
12 J		ОНП) В		иткаловВ.Г. льилвВ.В	перві	ой вытяжки	2p.MCδ3	-1231
Z	9m			льцовВ.В.	Konupo		2p.MLд3 Формат	2-1231 A4

Фармат	ЗОНО	Mas.	Обозначение	Наименование	Kon.	Приме Чание
	01	26	17.БР.СОМДиРП.599.62.13.026	Матрица	2	
	01	27	<i>17.БР.СОМДиРП.599.62.13.027</i>	<i>Державка</i>	2	
				Стандартные изделия		
	01	28		Отлипатель	0	
4		0.0		FOCT-12202-86	2	
	01	29		Колонка ГОСТ-13119-81	2	
	01	30		Винт ГОСТ-11737-80	10	
_	01	31	2	Винт ГОСТ-11737-80	12	
	01	32	2	Винт ГОСТ-11737-80	2	
4	01	33		Винт ГОСТ-11737-80	4	
<u> </u>	01	35		Штифт ГОСТ-3128-70	8	
_	01	36	7	Винт ГОСТ-11737-80	4	
	01	37	8	Винт ГОСТ-11737-80	2	
	04	38	<u> </u>	Винт ГОСТ-11737-80	6	
	04	39		Винт ГОСТ-11737-80	4	
	04	40		Винт ГОСТ-11737-80	4	
	01	41	/	<i>Магнит ГОСТ-10698-72</i>	4	
					3 S	
			7			
			0			
		2	1		2 8	
		4				
					8	
	Au	בוח	№ докум Подп. Дата 17.Б	Р.СОМДиРП.599.13.0	100	1